

A-35

**UNIVERSIDAD NACIONAL AUTONOMA DE MEXICO**  
**FACULTAD DE INGENIERIA**



**AMPLIFICACION DE ONDAS RAYLEIGH POR EL  
METODO DEL ELEMENTO FINITO**

**T E S I S**

**QUE PARA OBTENER EL TITULO DE  
INGENIERO CIVIL  
P R E S E N T A**

**HUGO DIEGO CUADROS ABAD**

**MEXICO, D. F.**

**1979**



Universidad Nacional  
Autónoma de México

Dirección General de Bibliotecas de la UNAM

**Biblioteca Central**



**UNAM – Dirección General de Bibliotecas**  
**Tesis Digitales**  
**Restricciones de uso**

**DERECHOS RESERVADOS ©**  
**PROHIBIDA SU REPRODUCCIÓN TOTAL O PARCIAL**

Todo el material contenido en esta tesis esta protegido por la Ley Federal del Derecho de Autor (LFDA) de los Estados Unidos Mexicanos (México).

El uso de imágenes, fragmentos de videos, y demás material que sea objeto de protección de los derechos de autor, será exclusivamente para fines educativos e informativos y deberá citar la fuente donde la obtuvo mencionando el autor o autores. Cualquier uso distinto como el lucro, reproducción, edición o modificación, será perseguido y sancionado por el respectivo titular de los Derechos de Autor.



UNIVERSIDAD NACIONAL  
AUTÓNOMA DE  
MÉXICO

FACULTAD DE INGENIERIA  
EXAMENES PROFESIONALES  
60-1-283

Al Posante señor HUGO DIEGO CUADROS ABAD,  
P r e s e n t e .

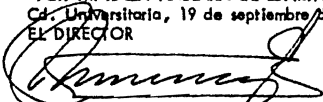
En atención a su solicitud relativa, me es grato transcribir a usted a continuación el tema que aprobado por esta Dirección propuso el Profesor Dr. Luis Esteva, para que lo desarrolle como tesis en su Examen Profesional de Ingeniero CIVIL.

"AMPLIFICACION DE ONDAS RAYLEIGH POR EL METODO DEL  
ELEMENTO FINITO"

1. Introducción y objetivos. Antecedentes
  2. Conceptos básicos de la teoría del elemento finito
  3. Planteamiento del problema. Propagación de onda. Condiciones de frontera.
  4. Casos por analizar
  5. Análisis y resultados
  6. Conclusiones y recomendaciones
- Apéndices. Programa de computadora. Diagrama - de flujo. Instructivos.

Ruego a usted se sirva tomar debida nota de que en cumplimiento de lo especificado por la Ley de Profesiones, deberá prestar Servicio Social durante un tiempo mínimo de seis meses como requisito indispensable para sustentar Examen Profesional; así como de la disposición de la Dirección General de Servicios Escolares en el sentido de que se imprima en lugar visible de los ejemplares de la tesis, el título del trabajo realizado.

Atentamente  
"POR MI RAZA HABLARA EL ESPIRITU"  
Cd. Universitaria, 19 de septiembre de 1978  
EL DIRECTOR

  
ING. JAVIER JIMENEZ ESPRIU

JJE/CEH/ser

AMPLIFICACION DE ONDAS RAYLEIGH POR EL METODO  
DEL ELEMENTO FINITO

1. INTRODUCCION Y OBJETIVOS. ANTECEDENTES
2. CONCEPTOS BASICOS DE LA TEORIA DEL ELEMENTO FINITO PARA UN ESTADO DE DEFORMACION PLANA.
  - 2.1 Conceptos Generales
  - 2.2 Formulaci3n Directa de las Características del Elemento Finito Triangular.
    - 2.2.1 Funci3n de desplazamientos
    - 2.2.2 Deformaciones
    - 2.2.3 Esfuerzos
    - 2.2.4 Matriz de rigidez. Fuerzas nodales equivalentes
    - 2.2.5 Fuerzas de cuerpo
3. PLANTEAMIENTO DEL PROBLEMA. PROPAGACION DE ONDA. CONDICIONES DE FRONTERA.
  - 3.1 Ecuaci3n de Equilibrio Dinámico.
  - 3.2 Soluci3n de la Ecuaci3n de Equilibrio Dinámico.
  - 3.3 Propagaci3n de Ondas
    - 3.3.1 Medio elástico, infinito, homogéneo e is3tropo
    - 3.3.2 Soluci3n de las ecuaciones de movimiento. Ondas de compresi3n y ondas de cortante
    - 3.3.3 Ondas en un semiespacio elástico. Ondas de Rayleigh
  - 3.4 Condiciones de Frontera.
4. CASOS POR ANALIZAR
  - 4.1 Promontorios
  - 4.2 Depresiones
5. RESULTADOS

6. CONCLUSIONES Y RECOMENDACIONES.

APENDICE.

## 1. INTRODUCCION Y OBJETIVOS. ANTECEDENTES.

Esta tesis es producto de una investigación realizada en el Instituto de Ingeniería, en la cual tuve la oportunidad de participar como becario de dicha institución, bajo la supervisión del Dr. Luis Esteva M.

La influencia que la topografía tiene en la respuesta sísmica, ha sido reconocida por mucho tiempo, debido a daños causados por sismos en zonas de topografía accidentada. Los intentos por predecir por medios teóricos dicha influencia data de los últimos años.

La ref (1) presenta una revisión crítica de la literatura existente sobre el tema en cuestión, donde también se proponen estudios enfocados a predecir la influencia de las condiciones locales en las características de los movimientos sísmicos.

Diversos modelos analíticos han sido empleados (ref 1,2) para la obtención de la respuesta sísmica ante diversos tipos de sollicitación. La mayor parte de dichos modelos consideran únicamente ondas de cuerpo incidiendo en la vecindad de irregularidades topográficas.

En este trabajo se presenta la influencia que tienen ciertos accidentes topográficos en el movimiento sísmico para el caso de ondas superficiales de Rayleigh, mostrando los parámetros que hacen importante tal influencia.

En la solución del problema se utilizó la teoría del elemento finito. Esta ofrece algunas ventajas sobre otros métodos a

pesar de ciertos inconvenientes. Entre las ventajas puede mencionarse la posibilidad de considerar, mediante análisis de respuesta — paso a paso, el comportamiento no lineal de los materiales incluidos en la zona finita estudiada. Dentro de los problemas en la implantación del método, se encuentran principalmente la formulación de las condiciones de frontera y el tamaño del modelo seleccionado; asimismo, el tamaño de los elementos de dicho modelo fija un límite superior a la frecuencia de excitación, al impedir que se propaguen frecuencias altas.

Es importante que en los lugares donde el movimiento sísmico esté afectado significativamente por las condiciones topográficas locales, se tome en cuenta tal influencia en los espectros de diseño sísmico.

## 2. CONCEPTOS BASICOS DE LA TEORIA DEL ELEMENTO FINITO PARA UN ESTADO DE DEFORMACION PLANA.

### 2.1 Conceptos Generales.

Las principales hipótesis (ref 3) en las que se apoya la teoría del elemento finito con base en una formulación de desplazamientos, son las siguientes:

a) Se idealiza el medio continuo en subdominios interconectados por puntos nodales. La forma de tales subdominios es, dentro de ciertos lineamientos, arbitraria.

b) Se selecciona un conjunto de funciones para definir únicamente el estado de desplazamientos dentro de cada "elemento finito", en términos de los desplazamientos nodales. Estos últimos serán las incógnitas básicas del problema.

c) Las funciones de desplazamiento definirán ahora el estado de deformación dentro del elemento en términos de los desplazamientos nodales. Estas deformaciones junto con las deformaciones iniciales y las propiedades constitutivas del material nos definirán el estado de esfuerzos a través del elemento y por lo tanto también en sus fronteras.

Claramente el grado de aproximación en la respuesta así obtenida, dependerá del tamaño y la forma de los elementos empleados, así como también de la función de desplazamientos escogida.

Puede demostrarse (ref 3) que el método del elemento finito es equivalente a la minimización de la energía potencial total

del sistema, en términos del campo de desplazamiento prescrito. -- Si la selección de dicho campo es adecuada, entonces se obtiene -- convergencia al resultado correcto.

Las funciones de desplazamientos que se escojan deben representar en la forma más aproximada posible a la verdadera distribución de tales desplazamientos; por ello su selección debe cumplir con los siguientes requerimientos:

a) La deformación de un elemento debe ser nula cuando los desplazamientos nodales son causados por un desplazamiento de cuerpo rígido.

b) Si los desplazamientos nodales son compatibles con una condición de deformación constante, tal deformación será obtenida.

Claramente, a medida que los elementos son más pequeños, las condiciones de deformación constante prevalecerán en ellos. Si dichas condiciones existen, es más deseable para una buena aproximación que el tamaño del elemento pueda reproducirlas exactamente. Es posible formular funciones que satisfagan la primera condición, pero que al mismo tiempo requieran de una variación de deformación a través del elemento, cuando los desplazamientos nodales en realidad son compatibles con una solución de deformación constante. Tales funciones, en general, no lograrán una buena convergencia, y no pueden, aún en el límite, representar la "verdadera" distribución de deformación.

c) Las deformaciones en las fronteras entre elementos deben ser finitas. Este criterio implica una estricta continuidad de los desplazamientos entre elementos.

## 2.2 Formulación Directa de las Características del Elemento Finito Triangular.

En esta sección se presenta la formulación de la teoría - del elemento finito triangular (ref 3) para un estado de deforma- ción plana, con base en la Teoría de la Elasticidad.

2.2.1 Función de desplazamientos. La figura 2.1 muestra - el elemento triangular considerado, con nodos i, j, m, numerados en- el sentido contrario al movimiento de las manecillas del reloj. Los desplazamientos de los nodos tienen dos componentes únicamente, y pueden expresarse en forma matricial:

$$\left\{ \delta_i \right\} = \begin{Bmatrix} u_i \\ v_i \end{Bmatrix} \quad (2.1)$$

Considerando todo el elemento:

$$\left\{ \delta \right\}^e = \begin{Bmatrix} \delta_i \\ \delta_j \\ \delta_m \end{Bmatrix} \quad (2.2)$$

En cada lado del elemento hay solamente dos nodos, y la - posible variación del desplazamiento es lineal. Los desplazamien- tos en cualquier punto del elemento deben ser definidos por los -- desplazamientos desconocidos en los nodos i, j, m. La forma más sim- ple de representar los desplazamientos en cualquier punto es por - medio de dos polinomios lineales:

$$\begin{aligned} u &= \alpha_1 + \alpha_2 x + \alpha_3 y \\ v &= \alpha_4 + \alpha_5 x + \alpha_6 y \end{aligned} \quad (2.3)$$

Las seis constantes  $\alpha$  pueden evaluarse en términos de -- las coordenadas y los desplazamientos nodales, resolviendo los dos

conjuntos de tres ecuaciones simultáneas que surgen de las ecuaciones 2.3. Se llega a las siguientes expresiones (ref. 3):

$$u = \frac{1}{2\Delta} \left\{ (a_1 + b_1x + c_1y)u_1 + (a_j + b_jx + c_jy)u_j + (a_m + b_mx + c_my)u_m \right\} \quad (2.4)$$

$$v = \frac{1}{2\Delta} \left\{ (a_1 + b_1x + c_1y)v_1 + (a_j + b_jx + c_jy)v_j + (a_m + b_mx + c_my)v_m \right\} \quad (2.5)$$

en donde:

$$\begin{aligned} a_1 &= x_j y_m - x_m y_j \\ b_1 &= y_j - y_m = y_{jm} \\ c_1 &= x_m - x_j = x_{mj} \end{aligned} \quad (2.6)$$

con los otros coeficientes obtenidos por una permutación-cíclica de subíndices en el orden  $i, j, m$ , y donde

$$2\Delta = \det \begin{vmatrix} 1 & x_i & y_i \\ 1 & x_j & y_j \\ 1 & x_m & y_m \end{vmatrix} = 2(\text{Area del triángulo}) \quad (2.7)$$

Los desplazamientos en cualquier punto dentro del elemento, dados por las ecuaciones 2.4 y 2.5, pueden expresarse por el vector columna  $\left\{ \mathbf{f} \right\}$  como sigue:

$$\left\{ \mathbf{f} \right\} = \begin{Bmatrix} u \\ v \end{Bmatrix} = \mathbf{f} \left\{ (x, y) \right\} = [\mathbf{N}] \left\{ \delta \right\}^e = [\mathbf{N}_1^i \quad \mathbf{N}_j^i \quad \mathbf{N}_m^i] \left\{ \delta \right\}^e \quad (2.8)$$

donde:

$\mathbf{I}$  = es una matriz identidad de 2 por 2. y  
 $\mathbf{N}_i^i = (a_i + b_1x + c_1y)/2\Delta$ , etc, que es una función de posición.

A la matriz  $[N]$  se le denomina función de forma.

La función de desplazamiento escogida garantiza automáticamente la continuidad de desplazamientos en elementos adyacentes, porque los desplazamientos varían linealmente a lo largo de cualquier lado del triángulo y, con un desplazamiento idéntico impuesto en los nodos, ocurrirán desplazamientos iguales a lo largo de los bordes de dos elementos.

2.2.2 Deformaciones. Para el caso de deformación plana la deformación total en cualquier punto de un elemento puede definirse por sus tres componentes que contribuyen al trabajo interno (ref 4).

$$\{\epsilon\} = \begin{Bmatrix} \epsilon_x \\ \epsilon_y \\ \gamma_{xy} \end{Bmatrix} = \begin{Bmatrix} \frac{\partial u}{\partial x} \\ \frac{\partial v}{\partial y} \\ \frac{\partial u}{\partial y} + \frac{\partial v}{\partial x} \end{Bmatrix} \quad (2.9)$$

Usando las ecuaciones (2.4) ó (2.8) se tiene:

$$\{\epsilon\} = \begin{bmatrix} \frac{\partial N_i}{\partial x} & 0 & \frac{\partial N_j}{\partial x} & 0 & \frac{\partial N_m}{\partial x} & 0 \\ 0 & \frac{\partial N_i}{\partial y} & 0 & \frac{\partial N_j}{\partial y} & 0 & \frac{\partial N_m}{\partial y} \\ \frac{\partial N_i}{\partial y} & \frac{\partial N_i}{\partial x} & \frac{\partial N_j}{\partial y} & \frac{\partial N_j}{\partial x} & \frac{\partial N_m}{\partial y} & \frac{\partial N_m}{\partial x} \end{bmatrix} \begin{Bmatrix} u_i \\ v_i \\ u_j \\ v_j \\ u_m \\ v_m \end{Bmatrix} \quad (2.10)$$

$$\{\epsilon\} = \frac{1}{2\Delta} \begin{bmatrix} b_i & 0 & b_j & 0 & b_m & 0 \\ 0 & c_i & 0 & c_j & 0 & c_m \\ c_i & b_i & c_j & b_j & c_m & b_m \end{bmatrix} \{\delta\}^e \quad (2.11)$$

$$\{\epsilon\} = [B] \{\delta\} \quad (2.12)$$

Puede verse que la matriz  $[B]$  es independiente de la posición, y por lo tanto las deformaciones son constantes a través del elemento. Obviamente, se satisface el criterio de deformación constante mencionado en la sección 2.1

2.2.3 Esfuerzos. Si se supone un comportamiento lineal elástico general y un material isótropo, la relación entre esfuerzos y deformaciones estará dada por la siguiente expresión:

$$\{\sigma\} = [D] \left[ \{\epsilon\} - \{\epsilon_0\} \right] + \{\sigma_0\} \quad (2.13)$$

en donde:

- $[D]$  : matriz de elasticidad, que contiene las propiedades del material
- $\{\epsilon_0\}$  : deformaciones iniciales
- $\{\sigma_0\}$  : esfuerzos residuales

Para el caso particular que nos ocupa -deformación plana-, solamente tres componentes de esfuerzo deben ser consideradas:

$$\{\sigma\} = \begin{Bmatrix} \sigma_x \\ \sigma_y \\ \tau_{xy} \end{Bmatrix}$$

y la matriz  $[D]$  puede obtenerse de las relaciones usuales esfuerzo-deformación para materiales isótropos (ref 4) :

$$\begin{aligned} \epsilon_x &= \frac{1}{E} [\sigma_x - \nu(\sigma_y + \sigma_z)] \\ \epsilon_y &= \frac{1}{E} [\sigma_y - \nu(\sigma_x + \sigma_z)] \end{aligned} \quad (2.14)$$

$$\epsilon_z = \frac{1}{E} [\sigma_z - \nu(\sigma_x + \sigma_y)]$$

$$\gamma_{xy} = \frac{2}{E} (1 + \nu) \tau_{xy}$$

Eliminando  $\sigma_z$  y resolviendo para los tres esfuerzos restantes, se puede obtener (ref 3):

$$[D] = \frac{E(1-\nu)}{(1+\nu)(1-2\nu)} \begin{bmatrix} 1 & \nu/(1-\nu) & 0 \\ \nu/(1-\nu) & 1 & 0 \\ 0 & 0 & \frac{(1-2\nu)}{2(1-\nu)} \end{bmatrix} \quad (2.15)$$

donde:

$E$ : módulo de Young

$\nu$ : relación de Poisson.

#### 2.2.4 Matriz de rigidez.

Designemos por:

$$\{F\}^e = \begin{Bmatrix} F_i \\ F_j \\ F_m \end{Bmatrix}$$

al vector de fuerzas nodales, que deben ser estáticamente equivalentes a los esfuerzos en la frontera y las cargas distribuidas en un elemento. Cada una de las fuerzas  $\{F_i\}$  debe contener el mismo número de componentes que los correspondientes desplazamientos nodales  $\{\delta_i\}$ ; dichas fuerzas deben ordenarse en las direcciones correspondientes.

Las cargas distribuidas  $\{P\}$  se definen como aquellas que actúan en un volumen unitario de material dentro del elemento.

En el caso particular de deformación plana, las fuerzas nodales son, por ejemplo:

$$\left\{ F_i \right\} = \begin{Bmatrix} U_i \\ V_i \end{Bmatrix}$$

con componentes U y V correspondientes a las direcciones de los desplazamientos u y v respectivamente; la carga distribuida es:

$$\left\{ P \right\} = \begin{Bmatrix} X \\ Y \end{Bmatrix} \quad \text{en donde X y Y son las componentes de las fuerzas de cuerpo}$$

Para hacer que las fuerzas nodales sean estáticamente equivalentes a los esfuerzos de frontera y las fuerzas de cuerpo, - el procedimiento más simple es imponer un desplazamiento nodal arbitrario (virtual), e igualar el trabajo externo e interno realizado por las fuerzas y los esfuerzos durante dicho desplazamiento.

Sea un desplazamiento virtual  $d\{\delta\}^e$  aplicado en los nodos. De aquí resulta de las ecuaciones (2.8) y (2.12):

$$\begin{aligned} d\{f\} &= [N] d\{\delta\}^e \\ d\{E\} &= [B] d\{\delta\}^e \end{aligned} \quad (2.16)$$

El trabajo hecho por las fuerzas nodales es igual a la suma de los productos de las componentes de las fuerzas individuales y sus correspondientes desplazamientos, que en lenguaje matricial se expresa como:

$$\left( d\{\delta\}^e \right)^T \cdot \{F\}^e \quad (2.17)$$

De manera similar, el trabajo interno por unidad de volumen hecho por los esfuerzos y las fuerzas de cuerpo es:

$$d\{\boldsymbol{\varepsilon}\}^T \{\boldsymbol{\sigma}\} - d\{f\}^T \{P\} \quad (2.18)$$

$$\left( d\{\boldsymbol{\delta}\}^T \left( [B]^T \{\boldsymbol{\sigma}\} - [N]^T \{P\} \right) \right) \quad (2.19)$$

Igualando el trabajo externo con el trabajo interno total integrado sobre el volumen, se obtiene:

$$\left( d\{\boldsymbol{\delta}\}^T \right) \{F\}^e = \left( d\{\boldsymbol{\delta}\}^T \right) \left( \int [B]^T \{\boldsymbol{\sigma}\} d(\text{vol}) - \int [N]^T \{P\} d(\text{vol}) \right)$$

Sustituyendo las expresiones (2.12) y (2.13) se tiene:

$$\begin{aligned} \{F\}^e = & \left( \int [B]^T [D] [B] d(\text{vol}) \right) \{\boldsymbol{\delta}\}^e - \int [B]^T [D] \{\boldsymbol{\varepsilon}_0\} d(\text{vol}) + \\ & + \left( \int [B]^T \{\boldsymbol{\sigma}_0\} d(\text{vol}) - \int [N]^T \{P\} d(\text{vol}) \right) \end{aligned} \quad (2.20)$$

Por otra parte, se tiene para cualquier elemento estructural la siguiente relación:

$$\{F\}^e = [K]^e + \{\boldsymbol{\delta}\}^e + \{F\}_p^e + \{F\}_{\boldsymbol{\varepsilon}_0}^e$$

en donde:

$\{F\}_p^e$  representa las fuerzas nodales requeridas para balancear cualquier carga distribuida actuando sobre el elemento

$\{F\}_{\boldsymbol{\varepsilon}_0}^e$  fuerzas nodales requeridas para balancear cualquier deformación inicial, tales como las debidas a cambios de temperatura

$[K]^e$  Matriz de rigidez del elemento

Puede verse que las expresiones (2.21) y (2.20) son correspondientes. Por tanto:

$$[K]^e = \int [B]^T [D] [B] d(\text{vol}) \quad (2.22)$$

$$\{F\}_p^e = \int [N]^T \{P\} d(\text{vol}) \quad (2.23)$$

$$\{F\}_{\epsilon_0}^e = \int [B]^T [D] \{\epsilon_0\} d(\text{vol}) \quad (2.24)$$

$$\{F\}_{\sigma_0}^e = \int [B]^T \{\sigma_0\} d(\text{vol}) \quad (2.25)$$

Esta última expresión se debe a esfuerzos iniciales al comienzo del análisis.

Una vez que se han determinado los desplazamientos nodales, los esfuerzos en cualquier punto del elemento pueden obtenerse por medio de la siguiente expresión:

$$\{\sigma\} = [D] [B] \{\delta\}^e - [D] \{\epsilon_0\} + \{\sigma_0\} \quad (2.26)$$

La expresión (2.22) se puede expresar en la siguiente forma:

$$[K]^e = [B]^T [D] [B] t \, dx \, dy \quad (2.27)$$

donde  $t$  es el espesor del elemento. Si dicho espesor es constante, entonces:

$$[K]^e = [B]^T [D] [B] t \, \Delta \quad (2.28)$$

donde  $\Delta$  es el área del triángulo ya definida en la expresión (2.7).

La matriz  $[B]$  definida por la ecuación (2.11) puede escribirse como:

$$[B]^e = [B_i \ B_j \ B_m], \text{ con } [B_i] = \begin{Bmatrix} b_i & 0 \\ 0 & c_i \\ c_i & b_i \end{Bmatrix} / 2\Delta \quad (2.29)$$

Ahora la matriz de rigidez puede escribirse en la siguiente forma:

$$[K]^e = \begin{bmatrix} K_{ii} & K_{ij} & K_{im} \\ K_{ji} & K_{jj} & K_{jm} \\ K_{mi} & K_{mj} & K_{mm} \end{bmatrix} \quad (2.30)$$

en donde

$$[K_{rs}] = [B_r]^T [D] [B_s] t \Delta, \text{ que es una matriz de } 2 \text{ por } 2.$$

### 2.2.5 Fuerzas de cuerpo

De la expresión (2.23) se tiene:

$$\{F\}_p^e = \int [N]^T \begin{Bmatrix} X \\ Y \end{Bmatrix} dx dy$$

para cada nodo se tiene

$$\{N\}_p = \begin{Bmatrix} X \\ Y \end{Bmatrix} \int N_i dx dy \quad (2.31)$$

$$\{F_i\}_p = - \begin{Bmatrix} X \\ Y \end{Bmatrix} \int a_1 dx dy / 2 \Delta = - \begin{Bmatrix} x \\ y \end{Bmatrix} a_1 / 2$$

$$\{F_i\}_p = - \begin{Bmatrix} X \\ Y \end{Bmatrix} \Delta / 3 = \{F_i\}_p = \{F_m\}_p$$

$$\{F\}_p^e = - \begin{Bmatrix} x \\ y \\ x \\ y \\ x \\ y \end{Bmatrix} \Delta / 3 \quad (2.32)$$

Para llegar a esta expresión, es importante hacer notar que el origen de coordenadas se tomó en el centroide del elemento.

### 3. PLANTEAMIENTO DEL PROBLEMA. PROPAGACION DE ONDA. CONDICIONES DE FRONTERA.

#### 3.1 Ecuación de Equilibrio Dinámico.

La respuesta a cierta excitación sísmica es un problema - de tipo dinámico, y por tanto, debe ser tratado como tal. La ecuación que nos representa el comportamiento del " medio discretizado " ante una sollicitación determinada es la siguiente:

$$[K] \{\delta\} + [C] \frac{\partial}{\partial t} \{\delta\} + [M] \frac{\partial^2}{\partial t^2} \{\delta\} = \{P(t)\} \quad (3.1)$$

en donde:

$\{\delta\}$  es el vector desplazamiento

$\{P(t)\}$  es el vector de excitación.

$[M]$  es la matriz de masas, que es una matriz diagonal, debido a que la masa se concentró en los puntos nodales

$[K]$  es la matriz de rigidez estática

$[C]$  es la matriz de amortiguamiento que contiene los coeficientes para los amortiguadores" sobre la frontera.

Para el caso de la matriz de masas, la masa de cada elemento se concentró en sus vértices en partes iguales, y por tanto la matriz para el elemento es:

\* Las condiciones de frontera se presentarán más adelante

$$[m]^e = \frac{\rho t \Delta}{3} \begin{bmatrix} 1 & 0 & 0 & 0 & 0 & 0 \\ 0 & 1 & 0 & 0 & 0 & 0 \\ 0 & 0 & 1 & 0 & 0 & 0 \\ 0 & 0 & 0 & 1 & 0 & 0 \\ 0 & 0 & 0 & 0 & 1 & 0 \\ 0 & 0 & 0 & 0 & 0 & 1 \end{bmatrix} \quad (3.2)$$

en donde:

$\rho$  : densidad de masa

$t$  : espesor del elemento

$\Delta$  : área del elemento

### 3.2 Solución de la Ecuación de Equilibrio Dinámico para Excitación Armónica.

La solución de la ecuación diferencial (3.1) puede encontrarse por el método de respuesta compleja. Sea el vector fuerza-de excitación siguiente:

$$\{F(t)\} = \{F_0\} e^{i\omega t} \quad (3.3)$$

en donde  $\{F_0\}$  es independiente del tiempo, y  $\omega$  es la frecuencia de excitación. Puede verse que dicho vector es una solicitud de tipo periódica.

La respuesta puede expresarse como:

$$\{\delta\} = \{\delta_0\} e^{i\omega t} \quad (3.4)$$

$$\{\dot{\delta}\} = i\omega \{\delta_0\} e^{i\omega t} \quad (3.5)$$

$$\{\ddot{\delta}\} = -w^2 \{\delta_0\} e^{iwt} \quad (3.6)$$

Sustituyendo estas tres últimas ecuaciones en la expresión (3.1), resulta:

$$\begin{aligned} [K] \{\delta_0\} e^{iwt} + iw [C] \{\delta_0\} e^{iwt} - w^2 [M] \{\delta_0\} e^{iwt} \\ - \{F_0\} e^{iwt} = 0 \end{aligned} \quad (3.7)$$

Puede verse que la expresión (3.7) es independiente del tiempo. Simplificando y reagrupando queda:

$$\left( [K] + iw [C] - w^2 [M] \right) \{\delta_0\} = \{F_0\} \quad (3.8)$$

En general las expresiones  $\{F_0\}$  y  $\{\delta_0\}$  serán complejas, y la ecuación (3.8) debe ser tratada como un conjunto de dos ecuaciones: una que resulta de igualar las partes reales, y para la otra las partes imaginarias. Así, si:

$$\{F_0\} = \{\bar{F}_0\} + i \{\bar{F}_0\} \quad (3.9)$$

$$\{\delta_0\} = \{\bar{\delta}_0\} + i \{\bar{\delta}_0\} \quad (3.10)$$

resulta que al igualar las partes reales e imaginarias — de la ecuación (3.8) tenemos dos ecuaciones simultáneas, escritas como una sola en forma matricial:

$$\begin{bmatrix} [K] - w^2[M] & -w[C] \\ w[C] & [K] - w^2[M] \end{bmatrix} \begin{Bmatrix} \overline{\delta}_o \\ \overline{\delta}_o \end{Bmatrix} = \begin{Bmatrix} \overline{F}_o \\ \overline{F}_o \end{Bmatrix} \quad (3.11a)$$

$$(3.11b)$$

Las ecuaciones (3.11) forman un sistema en el que todas las cantidades son reales, y del cual puede determinarse la respuesta a cualquier excitación periódica por solución directa.

Puede verse que el problema se hizo independiente del tiempo, y la solución de la ecuación (3.11) da una posible forma de respuesta de la estructura ante una excitación con determinada frecuencia  $w$ .

### 3.3 Propagación de Ondas.

Se presenta en esta sección la formulación de las ecuaciones que rigen el movimiento de ondas dentro de un medio continuo elástico infinito, homogéneo, isótropo y sin viscosidad, y el movimiento de ondas en un semiespacio elástico, que es el caso de las ondas de Rayleigh. (ref 4 y 5)

3.3.1 Medio elástico, infinito, homogéneo e isótropo. Para derivar las ecuaciones del movimiento para un medio elástico, es necesario examinar el equilibrio de un elemento diferencial, tal como se muestra en la fig 3.1

Consideremos primero la variación de las fuerzas en caras opuestas del elemento. Los esfuerzos en cada cara se representan-

mediante vectores ortogonales. Los vectores continuos actúan en las caras visibles y los punteados sobre las caras ocultas. Establezcamos el equilibrio del elemento. En la dirección X se tiene:

$$\left(\sigma_x + \frac{\partial \sigma_x}{\partial x} \Delta x\right) \Delta y \Delta z - \sigma_x \Delta y \Delta z + \left(\tau_{xy} + \frac{\partial \tau_{xy}}{\partial y} \Delta y\right) \Delta x \Delta z - \tau_{xy} \Delta x \Delta z + \left(\tau_{xz} - \frac{\partial \tau_{xz}}{\partial z} \Delta z\right) \Delta x \Delta y - \tau_{xz} \Delta x \Delta y = 0$$

Ecuaciones similares pueden escribirse para la dirección "Y" y la dirección "Z". Despreciando las fuerzas de cuerpo, y aplicando la segunda ley de Newton en la dirección X, se tiene:

$$\left(\frac{\partial \sigma_x}{\partial x} + \frac{\partial \tau_{xy}}{\partial y} + \frac{\partial \tau_{xz}}{\partial z}\right) \Delta x \Delta y \Delta z = \rho (\Delta x \Delta y \Delta z) \frac{\partial u}{\partial t^2} \quad (3.12)$$

Se pueden obtener expresiones similares a esta última, correspondientes a las direcciones "Z" y "Y". Entonces, las tres ecuaciones del movimiento en términos de los esfuerzos pueden escribirse:

$$\frac{\rho \partial^2 u}{\partial t^2} = \frac{\partial \sigma_x}{\partial x} + \frac{\partial \tau_{xy}}{\partial y} + \frac{\partial \tau_{xz}}{\partial z} \quad (3.13a)$$

$$\frac{\rho \partial^2 v}{\partial t^2} = \frac{\partial \tau_{yx}}{\partial x} + \frac{\partial \sigma_y}{\partial y} + \frac{\partial \tau_{yz}}{\partial z} \quad (3.13b)$$

$$\frac{\rho \partial^2 w}{\partial t^2} = \frac{\partial \tau_{zx}}{\partial x} + \frac{\partial \tau_{zy}}{\partial y} + \frac{\partial \sigma_z}{\partial z} \quad (3.13c)$$

en donde v y w son los desplazamientos correspondientes a las direcciones "Y" y "Z" respectivamente. Para expresar los términos derechos de estas ecuaciones en función de los desplazamientos, se pueden emplear las siguientes relaciones para un medio con

tínuo elástico (ref 4):

$$\begin{aligned}\sigma_x &= \lambda \bar{\epsilon} + 2G \epsilon_x & \tau_{xy} &= \tau_{yx} = G \delta_{xy} \\ \sigma_y &= \lambda \bar{\epsilon} + 2G \epsilon_y & \tau_{yz} &= \tau_{zy} = G \delta_{yz} \\ \sigma_z &= \lambda \bar{\epsilon} + 2G \epsilon_z & \tau_{zx} &= \tau_{xz} = G \delta_{zx}\end{aligned} \quad (3.14)$$

en donde:

$$G = \frac{E}{2(1+\nu)} \quad \lambda = \frac{\nu E}{(1+\nu)(1-2\nu)}$$

$\nu$  relación de Poisson

$\lambda, G$  constantes de Lamé

$\bar{\epsilon} = \epsilon_x + \epsilon_y + \epsilon_z$  dilatación cúbica.

También se requieren las siguientes relaciones que nos dan a las deformaciones y rotaciones en términos de los desplazamientos:

$$\begin{aligned}\epsilon_x &= \frac{\partial u}{\partial x}, \quad \delta_{xy} = \frac{\partial v}{\partial x} + \frac{\partial u}{\partial y}, \quad 2\bar{w}_x = \frac{\partial w}{\partial y} - \frac{\partial v}{\partial z} \\ \epsilon_y &= \frac{\partial v}{\partial y}, \quad \delta_{yz} = \frac{\partial w}{\partial y} + \frac{\partial v}{\partial z}, \quad 2\bar{w}_y = \frac{\partial u}{\partial z} - \frac{\partial w}{\partial x} \\ \epsilon_z &= \frac{\partial w}{\partial z}, \quad \delta_{zx} = \frac{\partial u}{\partial z} + \frac{\partial w}{\partial x}, \quad 2\bar{w}_z = \frac{\partial v}{\partial x} - \frac{\partial u}{\partial y}\end{aligned} \quad (3.15)$$

donde  $\bar{w}$  es la rotación alrededor de cada eje. Combinando las expresiones apropiadas de las ecuaciones (3.14) y (3.15) con la ecuación (3.13a) se tiene:

$$\rho \frac{\partial^2 u}{\partial t^2} = (\lambda + G) \frac{\partial \bar{\epsilon}}{\partial x} + G \nabla^2 u \quad (3.16)$$

Similarmente

$$\rho \frac{\partial^2 v}{\partial t^2} = (\lambda + G) \frac{\partial \bar{\epsilon}}{\partial y} + G \nabla^2 v \quad (3.17)$$

$$\rho \frac{\partial^2 w}{\partial t^2} = (\lambda + G) \frac{\partial \bar{E}}{\partial z} + G \nabla^2 w \quad (3.18)$$

donde  $\nabla^2$  es el operador Laplaciano en coordenadas cartesianas, definido como:

$$\nabla^2 = \frac{\partial^2}{\partial x^2} + \frac{\partial^2}{\partial y^2} + \frac{\partial^2}{\partial z^2}$$

3.3.2 Solución de las ecuaciones de movimiento. Pueden obtenerse dos soluciones para las ecuaciones del movimiento vistas en la sección anterior. Una solución describe la propagación de una onda que produce cambio de volumen únicamente (irrotacional), mientras que la otra describe la propagación de una onda de rotación pura, manteniendo constante el volumen. La primera solución puede obtenerse diferenciando las ecuaciones (3.16), (3.17) y (3.18) con respecto a X, Y, Z respectivamente y sumando las tres expresiones entre sí, de esta operación resulta:

$$\rho \frac{\partial^2 \bar{E}}{\partial t^2} = (\lambda + 2G) \nabla^2 \bar{E} \quad (3.19)$$

$$\rho \frac{\partial^2 \bar{E}}{\partial t^2} = v_p^2 \nabla^2 \bar{E} \quad (3.20)$$

donde  $v_p$  = velocidad de propagación de onda

En el caso de ondas planas, y suponiendo que todas las partículas se mueven paralelas a la dirección de propagación de onda (ondas longitudinales), entonces solamente se tiene un desplazamiento en función del eje en el cual se propaga la onda. - - -

Si se toma el eje X en la dirección de propagación de la onda, entonces  $v = w = 0$  y  $u$  es una función de X solamente. De la ecuación (3.20) se obtiene:

$$\frac{\partial^2 u}{\partial t^2} = v_p^2 \frac{\partial^2 u}{\partial x^2} \quad (3.21)$$

Esta ecuación suele denominarse como ecuación unidimensional de onda.

Puede demostrarse que cualquier función del tipo  $f(x+v_p t)$  y  $f(x-v_p t)$  es solución de la ecuación (3.21). La solución general de la ecuación del movimiento puede expresarse como:

$$u = f(x + v_p t) + f_1(x - v_p t) \quad (3.22)$$

La ecuación anterior tiene una interpretación física muy simple, y puede explicarse de la siguiente forma. Considérese la función  $f_1(x-v_p t)$ . Para un instante determinado  $t$ , este término es una función de X solamente, y puede representarse por una cierta curva. Después de un intervalo de tiempo  $\Delta t$ , el argumento de la función  $f_1$  se convierte en  $x - v_p(t + \Delta t)$ . Dicha función permanecerá inalterada debido a que simultáneamente con el incremento de  $t$  en  $\Delta t$ , las abscisas se incrementan en  $\Delta x$  igual a  $v_p \Delta t$ . Esto significa que la misma curva construida para el momento  $t$  es válida para el instante  $t + \Delta t$ , si ésta se desplaza en la dirección X la cantidad  $\Delta x = v_p \Delta t$ . De lo anterior se desprende que la función  $f_1$  representa una onda que viaja en el sentido del eje X con velocidad constante  $v_p$ . De la misma forma puede demostrarse que

la función  $f$  representa a una onda que viaje en la dirección contraria. Así, la solución general de la ecuación representa a dos ondas que viajan en direcciones opuestas, ambas con velocidad constante  $v_p$

Puede obtenerse otra solución de las ecuaciones (3.16), - (3.17) y (3.18), correspondiente a ondas de distorsión. Operando dichas ecuaciones puede llegarse a la siguiente expresión:

$$\frac{\partial^2 \bar{w}}{\partial t^2} = v_s^2 \nabla^2 \bar{w}_x \quad (3.23)$$

donde:

$$v_s = \sqrt{\frac{G}{\rho}} \quad \text{velocidad de propagación de ondas de distorsión.}$$

Expresiones similares pueden obtenerse para  $\bar{w}$  y  $\bar{w}_z$  .

Para el caso particular de ondas planas en donde el movimiento de las partículas es perpendicular a la dirección de propagación de las ondas, puede obtenerse, para el caso de propagación en dirección del eje  $X$ , la siguiente expresión:

$$\frac{\partial^2 v}{\partial t^2} = v_s^2 \frac{\partial^2 v}{\partial x^2} \quad (3.24)$$

en donde  $v$  es el desplazamiento perpendicular al eje  $X$ .

La solución de esta ecuación tiene la misma forma e interpretación que la de la ecuación (3.21)

Del análisis presentado puede verse que en un medio elas

tico infinito se pueden propagar dos tipos de ondas que viajan con diferentes velocidades. Estas ondas son conocidas por los siguientes términos:

- 1) Onda de dilatación (onda primaria, onda P, onda compresional, onda irrotacional) y
- 2) Onda de distorsión (onda secundaria, onda S, onda de - cortante)

### 3.3.3 Ondas en un semiespacio elástico. Ondas de Rayleigh.

En la sección 3.2 se vió que en un medio elástico homogéneo infinito se pueden propagar dos tipos de ondas - ondas de dilatación y - ondas de distorsión -. En un semiespacio elástico es posible encontrar otras soluciones para las ecuaciones de movimiento, que corresponden a ondas cuyo movimiento se confina a una zona cercana a la frontera del semiespacio. Una de estas ondas fue primeramente estudiada por Lord Rayleigh (1885), y más tarde fue descrita en detalle por Lamb (1904). La onda elástica descrita por estos investigadores es conocida como " Onda Rayleigh " y se confina a la vecindad de la superficie de un semiespacio. La influencia de la onda Rayleigh decrece rápidamente con la profundidad.

Una onda con las características mencionadas puede obtenerse por las ecuaciones (3.16), (3.17) y (3.18) imponiendo las condiciones de frontera apropiadas para el caso de una superficie libre. Defínase la superficie del semiespacio por el plano  $X - Y$  con el eje  $Z$  en dirección positiva hacia el interior del medio, - tal como se muestra en la fig 3.2

Para una onda plana que viaja en la dirección  $X$ , los desplazamientos serán independientes de la dirección  $Y$ . Los despla-

mientos en las direcciones X y Z denotadas por u y v respectivamente, pueden expresarse en términos de dos funciones potenciales  $\phi$  y  $\psi$ :

$$u = \frac{\partial \phi}{\partial x} + \frac{\partial \psi}{\partial z} \quad \text{y} \quad w = \frac{\partial \phi}{\partial z} - \frac{\partial \psi}{\partial x}$$

La dilatación  $\bar{E}$  de la onda definida por u y w es:

$$\bar{E} = \frac{\partial u}{\partial x} + \frac{\partial w}{\partial z} = \frac{\partial}{\partial x} \left( \frac{\partial \phi}{\partial x} + \frac{\partial \psi}{\partial z} \right) + \frac{\partial}{\partial z} \left( \frac{\partial \phi}{\partial z} - \frac{\partial \psi}{\partial x} \right) = \nabla^2 \phi$$

y la rotación  $2\bar{\omega}_y$  en el plano X-Z es:

$$2\bar{\omega}_y = \frac{\partial u}{\partial z} - \frac{\partial w}{\partial x} = \frac{\partial}{\partial z} \left( \frac{\partial \phi}{\partial x} + \frac{\partial \psi}{\partial z} \right) - \frac{\partial}{\partial x} \left( \frac{\partial \phi}{\partial z} - \frac{\partial \psi}{\partial x} \right) = \nabla^2 \psi$$

Las funciones de potencial  $\phi$  y  $\psi$  deben escogerse de tal manera que  $\phi$  se asocie con la dilatación del medio y  $\psi$  con la rotación.

Sustituyendo u y w en las ecuaciones (3.16) y (3.18) tenemos:

$$\begin{aligned} \rho \frac{\partial}{\partial x} \left( \frac{\partial^2 \phi}{\partial t^2} \right) + \rho \frac{\partial}{\partial z} \left( \frac{\partial^2 \psi}{\partial t^2} \right) &= (\lambda + 2G) \frac{\partial}{\partial x} \nabla^2 \phi \\ &+ G \frac{\partial}{\partial x} (\nabla^2 \psi) \end{aligned} \quad (3.25)$$

$$\begin{aligned} \rho \frac{\partial}{\partial z} \left( \frac{\partial^2 \phi}{\partial t^2} \right) - \rho \frac{\partial}{\partial x} \left( \frac{\partial^2 \psi}{\partial t^2} \right) &= (\lambda + 2G) \frac{\partial}{\partial z} (\nabla^2 \phi) \\ &- G \frac{\partial}{\partial x} (\nabla^2 \psi) \end{aligned} \quad (3.26)$$

Estas últimas ecuaciones se satisfacen si:

$$\frac{\partial^2 Q}{\partial t^2} = \frac{\lambda + 2G}{\rho} \nabla^2 Q = v_p^2 \nabla^2 Q \quad (3.27)$$

y

$$\frac{\partial^2 \Psi}{\partial t^2} = \left(\frac{G}{\rho}\right) \nabla^2 \Psi = v_s^2 \nabla^2 \Psi \quad (3.28)$$

Suponiendo una solución para una onda senoidal que viaja en la dirección positiva de X, las expresiones para Q y  $\Psi$  pueden escribirse:

$$Q = F(Z) \exp [i(\omega t - Nx)] \quad (3.29)$$

$$\Psi = G(Z) \exp [i(\omega t - Nx)] \quad (3.30)$$

Las funciones F(Z) y G(Z) describen la variación en amplitud de la onda como una función de la profundidad, y N es el número de onda definido por:

$$N = \frac{2\pi}{L_R}$$

donde  $L_R$  es la longitud de onda de Rayleigh.

Ahora, sustituyendo las expresiones para Q y  $\Psi$  en las ecuaciones (3.27) y (3.28) se tiene:

$$-\frac{\omega^2}{v_p^2} F(Z) = -N^2 F(Z) + F''(Z) \quad (3.31)$$

$$-\frac{\omega^2}{v_B^2} G(Z) = -N^2 G(Z) + G''(Z) \quad (3.32)$$

De estas expresiones se obtiene:

$$F''(Z) - \left( N^2 - \frac{\omega^2}{v_P^2} \right) F(Z) = 0 \quad (3.33)$$

$$G''(Z) - \left( N^2 - \frac{\omega^2}{v_P^2} \right) G(Z) = 0 \quad (3.34)$$

donde  $F''(Z)$  y  $G''(Z)$  son derivadas con respecto a  $Z$ .

Ahora, tomando:

$$q^2 = \left( N^2 - \frac{\omega^2}{v_P^2} \right) \quad (3.35)$$

$$s^2 = \left( N^2 - \frac{\omega^2}{v_B^2} \right) \quad (3.36)$$

Las ecuaciones (3.33) y (3.34) pueden reescribirse como:

$$F''(Z) - q^2 F(Z) = 0 \quad (3.37)$$

$$G''(Z) - s^2 G(Z) = 0 \quad (3.38)$$

Las soluciones de estas ecuaciones pueden expresarse en la forma

$$F(Z) = A_1 \exp(-qz) + B_1 \exp(qz) \quad (3.39)$$

$$G(Z) = A_2 \exp(-sz) + B_2 \exp(sz) \quad (3.40)$$

Una solución que permita que la amplitud de la onda tienda al infinito con la profundidad no puede aceptarse; por tanto:

$$B_1 = B_2 = 0$$

y las ecuaciones (3.29) y (3.30) se transforman en:

$$Q = A_1 \exp[-qz + i(\omega t - Nx)] \quad (3.41)$$

$$\Psi = A_2 \exp[-sz + i(\omega t - Nx)] \quad (3.42)$$

Las condiciones de frontera en la superficie implican la no existencia de esfuerzos, es decir,  $\bar{\sigma}_z$  y  $\bar{\tau}_{xy} = 0$  para  $Z = 0$ . Entonces:

$$\bar{\sigma}_z = \lambda \bar{\epsilon} + 2G \epsilon_z = \lambda \bar{\epsilon} + 2G \frac{\partial w}{\partial z} = 0$$

y

$$\bar{\tau}_{zx} = G \gamma_{zx} = G \left( \frac{\partial w}{\partial x} + \frac{\partial u}{\partial z} \right) = 0$$

Empleando las definiciones de  $u$  y  $v$  y las soluciones-

para  $Q$  y  $\Psi$  de las ecuaciones (3.41) y (3.42), estas últimas — expresiones para condiciones de frontera, pueden escribirse como:

$$\sigma_{z/z=0} = A_1 [(\lambda + 2G)q^2 - \lambda N^2] - 2iA_2GNs = 0 \quad (3.43)$$

$$\tau_{zx/z=0} = 2iA_1Nq + A_2 (s^2 + N^2) = 0 \quad (3.44)$$

De aquí, reagrupando términos se obtiene

$$\frac{A_1 (\lambda + 2G) q^2 - \lambda N^2}{A_2 2iGNs} - 1 = 0 \quad (3.45)$$

y

$$\frac{A_1 2qiN}{A_2 (s^2 + N^2)} + 1 = 0 \quad (3.46)$$

Sumando estas dos ecuaciones, tenemos

$$\frac{(\lambda + 2G)q^2 - \lambda N^2}{2iGNs} = - \frac{2qiN}{s^2 + N^2}$$

$$[(\lambda + 2G)q^2 - \lambda N^2](s^2 + N^2) = 4qGsN^2$$

Elevando al cuadrado ambos lados, e introduciendo los valores de  $q$  y  $s$  dados por las ecuaciones (3.35) y (3.36) respec-

para  $Q$  y  $\Psi$  de las ecuaciones (3.41) y (3.42), estas últimas --- expresiones para condiciones de frontera, pueden escribirse como:

$$\sigma_{zz}/z=0 = \Delta_1 [(\lambda + 2G)q^2 - \lambda N^2] - 2i\Delta_2 G N s = 0 \quad (3.43)$$

$$\tau_{zx}/z=0 = 2i\Delta_1 N q + \Delta_2 (s^2 + N^2) = 0 \quad (3.44)$$

De aquí, reagrupando términos se obtiene

$$\frac{\Delta_1 (\lambda + 2G) q^2 - \lambda N^2}{\Delta_2} - 1 = 0 \quad (3.45)$$

y

$$\frac{\Delta_1 2qiN}{\Delta_2 (s^2 + N^2)} + 1 = 0 \quad (3.46)$$

Sumando estas dos ecuaciones, tenemos

$$\frac{(\lambda + 2G) q^2 - \lambda N^2}{2iGNs} = - \frac{2qiN}{s^2 + N^2}$$

$$[(\lambda + 2G) q^2 - \lambda N^2] (s^2 + N^2) = 4qGsN^2$$

Elevando al cuadrado ambos lados, e introduciendo los valores de  $q$  y  $s$  dados por las ecuaciones (3.35) y (3.36) respec-

tivamente, se obtiene

$$16G^2N^4(N^2 - \frac{\omega^2}{v_p^2})(N^2 - \frac{\omega^2}{v_s^2}) = \left[ (\lambda + 2G)(N^2 - \frac{\omega^2}{v_p^2}) - \lambda N^2 \right] \left[ N^2 + (N^2 - \frac{\omega^2}{v_s^2}) \right]^2$$

Dividiendo entre  $G^2N^8$ , se obtiene

$$16(1 - \frac{\omega^2}{v_p^2 N^2})(1 - \frac{\omega^2}{v_s^2 N^2}) \left[ 2 - \frac{(\lambda + 2G)}{G} (\frac{\omega^2}{v_p^2 N^2}) \right]^2 (2 - \frac{\omega^2}{v_s^2 N^2}) \quad (3.47)$$

Sean las siguientes relaciones:

$$\frac{\omega^2}{v_p^2 N^2} = \frac{v_r^2}{v_p^2} = \alpha^2 k^2 \quad (3.48)$$

$$\frac{\omega^2}{v_s^2 N^2} = \frac{v_f^2}{v_s^2} = k^2 \quad (3.49)$$

$$\frac{\lambda + 2G}{G} = \frac{1}{\alpha^2} = \frac{2 - 2\nu}{1 - 2\nu} \quad (3.50)$$

donde  $v_r$  es la velocidad de la onda de Rayleigh.

La ecuación (3.47) puede reescribirse:

$$16(1 - \alpha^2 k^2)(1 - k^2) = (2 - \frac{1}{\alpha^2} \alpha^2 k^2)^2 (2 - k^2)^2 \quad (3.51)$$

Después de hacer operaciones y reagrupar términos, se obtiene:

$$k^6 - 8k^4 + (24 - 16\alpha^2)k^2 + 16(\alpha^2 - 1) = 0 \quad (3.52)$$

Esta ecuación (3.52) puede considerarse como una ecuación

cúbica en  $K^2$ , y diferentes soluciones reales pueden obtenerse para valores dados de  $\nu$ . La cantidad  $K$  representa una relación entre la velocidad de la onda de superficie, y la velocidad de la onda de cortante, y es independiente de la frecuencia de excitación de la onda.

Las relaciones de  $\frac{v_r}{v_B}$  y  $\frac{v_p}{v_B}$  pueden determinarse de la ecuación (3.52), para diferentes valores de  $\nu$ . En la figura 3.3 se presentan dichas relaciones, como una función de  $\nu$ .

Hasta ahora se ha obtenido la relación que existe entre la velocidad de ondas Rayleigh y ondas de cortante. Obtengamos ahora los desplazamientos  $u$  y  $w$  en términos de las expresiones conocidas:

$$u = \frac{\partial \psi}{\partial x} + \frac{\partial \psi}{\partial z} = -A_1 i N \exp[-qz + i(\omega t - Nx)] - A_2 s \exp[-sz + i(\omega t - Nx)] \quad (3.53)$$

$$w = \frac{\partial \psi}{\partial z} - \frac{\partial \psi}{\partial x} = -A i N \exp[-qz + i(\omega t - Nx)] + A i N \exp[-sz + i(\omega t - Nx)] \quad (3.54)$$

Sustituyendo algunas expresiones ya conocidas, se llega a las siguientes ecuaciones:

$$u = A_1 N i \left\{ -\exp\left[-\frac{q}{N}(zN)\right] + \frac{2qs}{N^2 + 1} \exp\left[-\frac{s}{N}(zN)\right] \right\} \exp i(\omega t - Nx) \quad (3.55)$$

$$w = A_1 N \frac{2q}{s^2 + 1} \exp\left[-\frac{s}{N}(zN)\right] - \frac{q}{N} \exp\left[-\frac{q}{N}(zN)\right] \exp i(\omega t - Nx) \quad (3.56)$$

El significado de la presencia de "i" en la expresión (3.55) y su ausencia en la expresión para  $w$ , es que la componente del desplazamiento  $u$  está defasada  $90^\circ$  con respecto a la componente del desplazamiento  $w$ .

Ahora, de las ecuaciones (3.55) y (3.56) la variación de  $u$  y  $w$  con respecto a la profundidad puede expresarse como:

$$U(z) = -\exp\left[-\frac{q}{N}(zN)\right] + \frac{\frac{2qs}{NN}}{\frac{s^2}{N^2} + 1} \exp\left[-\frac{s}{N}(zN)\right] \quad (3.57)$$

$$W(z) = \frac{\frac{2q}{N}}{\frac{s^2}{N^2} + 1} \exp\left[-\frac{s}{N}(zN)\right] - \frac{q}{N} \exp\left[-\frac{q}{N}(zN)\right] \quad (3.58)$$

Las funciones  $U(z)$  y  $W(z)$  representan las variaciones espaciales de los desplazamientos  $u$  y  $w$ , y pueden evaluarse en términos del número de onda  $N$  para cualquier valor dado de la relación de Poisson  $\nu$ . Por ejemplo, si  $\nu = 1/4$ , entonces:

$$U(z) = -\exp[-0.8475(zN)] + 0.5773 \exp[-0.3933(zN)] \quad (3.59)$$

$$W(z) = -0.8475 \exp[-0.8475(zN)] + 1.4679 \exp[-0.3933(zN)] \quad (3.60)$$

Las expresiones (3.55) y (3.56) pueden expresarse en la siguiente forma:

$$u = A_1 N i U(z) \exp(i\omega t - Nx) \quad (3.61)$$

$$w = A_1 N W(z) \exp(i\omega t - Nx) \quad (3.62)$$

La figura 3.4 muestra diferentes curvas para  $U(z)$  y  $W(z)$  contra la profundidad en longitudes de onda ( $L_R$ ), para las relaciones de Poisson de 0.25, 0.33, 0.40 y 0.50

Sistema de ondas en la superficie del semiespacio. En los párrafos anteriores se han determinado expresiones para las velocidades de tres tipos de ondas que pueden ocurrir en un semiespacio elástico. Conociendo tales velocidades, se puede fácilmente predecir el orden en que dichas ondas arribarán a un punto, debido a una perturbación en otro punto. Además de predecir el orden de llegada de las ondas a lo largo de la superficie, Lamb (1904) describió en detalle el movimiento de la superficie que ocurre a grandes distancias de un punto perturbador en la superficie de un medio ideal.

Bajo las condiciones consideradas por Lamb, una perturbación se difunde en la forma de un sistema de ondas anulares. La forma inicial de tal sistema dependerá del impulso perturbador; si este impulso es de corta duración, se desarrolla el sistema de ondas que se muestra en la fig 3.5

Este sistema tiene tres puntos característicos, que corresponden al arribo de las diferentes ondas. Puede verse que las ondas Rayleigh son las que tienen mayor influencia en el movimiento del terreno, cuando la fuente perturbadora se localiza en la superficie y produce un impulso de corta duración; de allí la importancia del presente trabajo.

Combinando las componentes vertical y horizontal del movimiento de la partícula en los puntos 1, se encuentra que la forma de tal movimiento es elíptico y retrógrado, tal como se muestra en la fig 3.4c.

La mayoría de los registros sísmicos son más complejos - que el de la fig 3.4, debido a la variación de la teoría para un semiespacio elástico ideal y las condiciones reales de la tierra. Algunas de las variaciones que pueden mencionarse son las siguientes: estratificación, no homogeneidad de los materiales, la curvatura de la superficie de la tierra, etc.

### 3.4 Condiciones de Frontera.

La imposibilidad de representar mediante un conjunto de e lementos finitos ordinarios un espacio semi-infinito, conduce a la necesidad de representar una región limitada de dicho espacio; y - de adoptar condiciones de frontera que logren la continuidad del - medio, permitiendo la absorción y transmisión de energía debido a diversos tipos de ondas incidentes y reflejadas; es decir, se de - ben formular condiciones de frontera tales que además de permitir el paso de las perturbaciones que llegan de la región exterior, - no reflejen las ondas que abandonan la región interior del modelo. Dichas condiciones dependen del tipo y dirección de propagación de las ondas en cada punto de la frontera, y por ello, para poder for - mularlas es necesario conocer tal información, bajo suposiciones - admisibles.

Existen diversos métodos que formulan condiciones de fron - tera (ref 6 - 11). Algunos de ellos enuncian dichas condiciones - en forma exacta, pero tienen el inconveniente de un alto grado de - dificultad en su implantación, que los convierte en métodos antie - conómicos aunque muy " precisos "; por el contrario existen méto - dos aproximados con los que se obtienen precisión y costo razona - bles, de ahí la ventaja de ser utilizados. En este trabajo se pre - senta la formulación de las condiciones de frontera mediante el cri

terio utilizado por Ruiz y Esteve en la ref 12. Dicha formulación establece las condiciones de frontera de manera exacta para las ondas incidentes, y sólo en forma aproximada las que corresponden a las ondas de salida. Esto último obedece a que se desconocen el tipo y dirección de propagación de las ondas de salida.

En la figura 3.6 puede apreciarse un modelo de elementos finitos que se adoptó para representar una región vecina a la irregularidad topográfica, que en este caso es un promontorio. Se supuso un tren de ondas de Rayleigh incidiendo sobre la frontera A (ver fig 3.6). En este caso, es aceptable suponer que la mayor parte de la energía incidente sobre la frontera izquierda (A), saldrá por la frontera derecha (C) bajo el mismo tipo de ondas y misma dirección de propagación. Con base en lo anterior se establecen las condiciones de frontera que sean capaces de absorber tales ondas, y puede aceptarse que la aproximación de dichas fronteras es razonable.

Considérese una frontera plana sobre la cual incide un sistema de ondas " conocido ", y un sistema desconocido abandona la región. Debido a dichas ondas, se desarrollan en la frontera ciertos esfuerzos que pueden valuarse a partir del campo de desplazamientos y velocidades en la frontera. Considérense  $\bar{G}_1$  y  $\bar{T}_1$  los esfuerzos normal y tangencial sobre la frontera causados por el sistema de ondas incidentes. Además, sean los esfuerzos  $\bar{G}_2$  y  $\bar{T}_2$  los correspondientes a sistema de ondas que abandona a la región. Defínanse los ejes X y Z como en la figura 3.7, y sean u y w los desplazamientos paralelos a cada uno de ellos.

Los esfuerzos  $\bar{G}_2$  y  $\bar{T}_2$  pueden valuarse en términos de las velocidades de los puntos de la frontera si se admiten las siguientes hipótesis:

a)  $\sigma_B$  es provocado por ondas planas longitudinales que viajan paralelas al eje X.

b)  $\tau_B$  es debido a ondas planas transversales que viajan también en la dirección del eje X.

Aboquemos nuestra atención al esfuerzo  $\sigma_B$ . Este es debido a una onda de compresión, y se tiene una función de desplazamiento dada por la expresión (3.22). Dicha onda viaja en la dirección positiva del eje X; por tanto se tiene únicamente el segundo término de tal expresión:

$$u_B = f_1(x - v_p t)$$

De la ecuación (3.14) se tiene:

$$\sigma_B = (\lambda + 2G) \frac{\partial u_B}{\partial x} \quad (3.63)$$

Por otra parte:

$$\frac{\partial u_B}{\partial x} = \frac{\partial f_1(x - v_p t)}{\partial x} = \frac{df_1(x - v_p t)}{d(x - v_p t)} \frac{d(x - v_p t)}{dx} = \frac{df_1(x - v_p t)}{d(x - v_p t)}$$

Además:

$$\frac{\partial u_B}{\partial t} = \frac{f_1(x - v_p t)}{\partial t} = \frac{df_1(x - v_p t)}{d(x - v_p t)} \frac{d(x - v_p t)}{dt} = \frac{-df_1(x - v_p t)}{d(x - v_p t)} v_p$$

Combinando las dos expresiones anteriores, se tiene:

$$\frac{\partial u_B}{\partial x} = \frac{-1}{v_p} \frac{\partial u_B}{\partial t} = -\frac{\dot{u}_B}{v_p} \quad (3.64)$$

Sustituyendo la ecuación (3.64) en la expresión (3.63)

$$\overline{\sigma}_B = - (\lambda + 2G) \frac{\dot{u}_B}{v_p} \quad (3.65)$$

Pero:

$$\frac{v^2}{p} = \frac{\lambda + 2G}{\rho}$$

Por lo tanto

$$\overline{\sigma}_B = -\rho v_p \dot{u}_B \quad (3.66)$$

Designese con  $u$  y  $u_1$  a los desplazamientos total e incidente respectivamente en un punto localizado en la frontera. Entonces:

$$\begin{aligned} u_1 &= u + u_B & u_B &= u - u_1 \\ \dot{u}_B &= \dot{u} - \dot{u}_1 \end{aligned}$$

Sustituyendo esta expresión en la ecuación (3.66)

$$\overline{\sigma}_B = -\rho v_p (\dot{u} - \dot{u}_1) \quad (3.67)$$

Sean  $\overline{\sigma}_1$  y  $\overline{\tau}_1$  los esfuerzos causados por las ondas incidentes.

El esfuerzo resultante en la frontera estará dado por la siguiente expresión:

$$\overline{\sigma}_T = \overline{\sigma}_1 + \overline{\sigma}_B = \overline{\sigma}_1 + \rho v_p \dot{u}_1 - \rho v_p \dot{u} = \overline{\sigma}_1 + \overline{\sigma}_1^* - \rho v_p \dot{u} \quad (3.68)$$

Analicemos esta expresión, apoyándonos en la figura 3.8. El término  $\tau_1$  es el esfuerzo para la onda de entrada. Se calcula por medio de las relaciones esfuerzo-deformación, a partir de los desplazamientos que corresponden a la onda en cuestión, como si no existiera frontera.

El término  $\tau_1^*$  es un esfuerzo de entrada, calculado como si la onda fuera unidimensional e incidiera normalmente a la frontera.

El tercer y último término es físicamente equivalente a un amortiguador viscoso, que actúa paralelamente al eje X, y cuya constante de disipación es  $Q v_p$ .

Para el caso de las condiciones de frontera referidas a esfuerzos tangenciales, puede llegarse, mediante un razonamiento análogo, a la siguiente expresión:

$$\tau = \tau_1 + Q v_B \dot{w}_1 - Q v_B \dot{w} = \tau_1 + \tau_1^* - Q v_B \dot{w} \quad (3.69)$$

en donde  $v_B$  es la velocidad de propagación de ondas transversales, y está dada por la expresión siguiente (vista en la sección 3.3.2):

$$v_B = \sqrt{\frac{G}{Q}}$$

La interpretación de la ecuación (3.69) es similar al caso de esfuerzos normales. En la figura 3.8 se representan las condiciones de frontera expresadas por tal ecuación.

En ciertos casos es posible suponer que la mayor parte de la energía que sale por una frontera está asociada con ondas de  $t_1$

po y dirección de propagación conocidos. En tal caso las ecuaciones (3.68) y (3.69) se modifican en la siguiente forma:

$$\tau = \tau_1 + a \rho v_p \dot{u}_1 - a \rho v_p \dot{u} \quad (3.70)$$

$$\tau = \tau_1 + b \rho v_s \dot{w}_1 - b \rho v_s \dot{w} \quad (3.71)$$

En estas expresiones  $a$  y  $b$  son parámetros adimensionales que pueden depender o no de la frecuencia y la profundidad, de acuerdo con el tipo de ondas. Para el caso de ondas de Rayleigh, ondas P y ondas S en un medio homogéneo, dichos parámetros fueron estudiados por Lysmer y Kuhlemeyer (ref 8). Para valuarlos, estos autores adoptaron como criterio la razón de energía reflejada a la incidente. Dichos autores obtuvieron los resultados mostrados en las figuras 3.9 y 3.10 para ondas P y S respectivamente. Puede verse que la razón de energía depende únicamente del ángulo de incidencia de tales ondas, así como de la relación de Poisson del medio. Una razón de energía unitaria corresponde a una reflexión perfecta mientras que una relación igual a cero corresponde a una absorción completa.

De las figuras 3.9 y 3.10 puede apreciarse que para valores de  $a = b = 1$  se obtiene la máxima absorción. La absorción no puede ser perfecta para todo el rango de valores de ángulos de incidencia. Se observa que dicha absorción es casi total para valores de  $\Theta > 30^\circ$ , mientras que para  $\Theta < 30^\circ$  el comportamiento de la frontera viscosa es pobre.

La energía que llega a una frontera es proporcional al seno del ángulo de incidencia de la onda, y por lo tanto las ondas -

que incidan con un ángulo pequeño, poseerán una energía despreciable en comparación con la de otras ondas con un ángulo de incidencia mayor. La formulación propuesta por Lysmer y Kuhlemeyer para valores de  $a = b = 1$ , es eficiente en un 95% y 98.5% para ondas S y P respectivamente.

Para el caso de ondas Rayleigh los parámetros  $a$  y  $b$  varían con la profundidad y con la frecuencia de excitación; fueron determinados por Lysmer y Kuhlemeyer, y están dados por las siguientes expresiones:

$$a(Nz) = \frac{n}{s} \left[ 1 - (1 - 2s) \frac{W'(Nz)}{U(Nz)} \right] \quad (3.72)$$

$$b(Nz) = -n \left[ 1 + \frac{U'(Nz)}{W(Nz)} \right] \quad (3.73)$$

donde:

$$n = \frac{v_r}{v_s} = \frac{1}{K}, \quad \text{donde } K \text{ es la constante dada por la ecuación (3.49). Si } \nu \text{ (Módulo de Poisson) es igual a } 1/4, \text{ entonces } n=1.02766$$

$$s^2 = \frac{1}{\alpha^2}, \quad \text{constante elástica} = \frac{1-2\nu}{2(1-\nu)}, \quad \text{dada por la ecuación (3.50).}$$

$N$  = número de onda, es decir, relación entre frecuencia de oscila-

ción y velocidad de propagación.

$U(Nz)$  = variación del desplazamiento horizontal con la profundidad de una onda Rayleigh en medio homogéneo. Está dada por la ecuación (3.57)

$W(Nz)$  = variación del desplazamiento vertical, dada por la ecuación (3.58)

$$U'(Nz) = \frac{dU}{dz}$$

$$W'(Nz) = \frac{dW}{dz}$$

La variación de  $a$  y  $b$  con  $Nz$  se muestra en la figura 3.11. Reconociendo que el significado físico de la variable  $Nz$  es 2 por profundidad/ Longitud de onda, puede verse que para profundidades mayores que la mitad de la longitud de onda, los parámetros " $a$ " y " $b$ " se aproximan a valores constantes. En el punto donde el desplazamiento horizontal es nulo, el parámetro " $a$ " tiende a infinito, lo que concuerda con el hecho físico de que se requiere un amortiguador de viscosidad infinita para fijar dicho punto.

Apliquemos los principios anteriores a las fronteras A, B y C de la figura 3.6.

#### Frontera A

Los esfuerzos  $G_i$  y  $T_i$  corresponden a las ondas incidentes de Rayleigh, para  $X = 0$  y  $Z$  variable. De las ecuaciones (3.61) y (3.62) y considerando amplitud unitaria, se tiene:

$$u_i = i U(Nz) \exp i(\omega t - Nx)$$

$$w_i = W(Nz) \exp i(\omega t - Nx)$$

De las ecuaciones (3.14), considerando que  $\epsilon_y = 0$ , se tiene:

$$\sigma_x = (\lambda + 2G) \frac{\partial u}{\partial x} + \lambda \frac{\partial w}{\partial z}$$

$$\sigma_z = (\lambda + 2G) \frac{\partial w}{\partial z} + \lambda \frac{\partial u}{\partial x}$$

$$\tau = G \left( \frac{\partial u}{\partial z} + \frac{\partial w}{\partial x} \right)$$

Por otra parte:

$$\frac{\partial u}{\partial x} = N U(Nz) \exp i(\omega t - Nx)$$

$$\frac{\partial u}{\partial z} = iNU'(Nz) \exp i(\omega t - Nx)$$

$$\frac{\partial w}{\partial x} = -iNW(Nz) \exp i(\omega t - Nx)$$

$$\frac{\partial w}{\partial z} = N W'(Nz) \exp i(\omega t - Nx)$$

Sustituyendo estas derivadas parciales en las expresiones para los esfuerzos, se tiene:

$$\sigma_x = (\lambda + 2G)NU(Nz)\exp i(\omega t - Nx) + \lambda NW'(Nz)\exp i(\omega t - Nx)$$

Introduciendo  $X = 0$ , y reagrupando términos, se tiene:

$$\sigma_x = \sigma_x = N \left[ (\lambda + 2G)U(Nz) + \lambda W'(Nz) \right] \exp i\omega t \quad (3.74)$$

Para el esfuerzo cortante, se tiene:

$$\tau_x = G \left( iNU'(Nz)\exp i(\omega t - Nx) - iNW(Nz)\exp i(\omega t - Nx) \right)$$

Para  $x=0$  resulta:

$$\tau_1 = iGN \left[ U'(Nz) - W(Nz) \right] \exp i\omega t \quad (3.75)$$

El esfuerzo  $\overline{\sigma}_z$  se omitió, debido a que sobre esta frontera no actúa tal esfuerzo.

Para las ondas de salida, se adoptaron en este caso los valores de  $a = 1$ ,  $b = 1$ , en las ecuaciones (3.70) y (3.71) quedando las siguientes expresiones:

$$\overline{\sigma} = \overline{\sigma}_1 - \rho v_p \dot{u}_1 + \rho v_p \dot{u} \quad (3.76)$$

y

$$\overline{\tau} = \overline{\tau}_1 - \rho v_s \dot{w}_1 + \rho v_s \dot{w} \quad (3.77)$$

Los cambios de signo que presentan estas expresiones con respecto a las ecuaciones (3.70) y (3.71), se deben a que estos esfuerzos (donde intervienen  $a$  y  $b$ ) se están refiriendo al sistema de ejes de la figura 3.6.

Los esfuerzos positivos para  $\overline{\sigma}$  y  $\overline{\tau}$  corresponden a los mostrados en la figura 3.12.

Interesa ahora determinar el sentido de las fuerzas externas que hay que aplicar en la frontera (ver fig 3.13) para representar las ondas de llegada, con el criterio de que las bases de los amortiguadores permanecen fijas.

Se tomarán positivas las fuerzas externas  $F_x$  y  $F_y$ , cuando tienen el sentido positivo de los ejes  $X$  y  $Y$  respectivamente.

Analicemos la ecuación (3.76). El término  $\overline{\sigma}_1$  puede expresarse como:

$$\overline{\sigma}_1 = (+ a_R \rho v_p \dot{u}_{1R}) \quad (3.78)$$

que es equivalente a la expresión (3.74), donde  $a_R$  está dado por la expresión (3.72)

Puede apreciarse que para  $\dot{u}_{1R}$  positiva se tiene esfuerzo  $\overline{\sigma}_1$  positivo ( ver fig 3.12 ), y por lo tanto se tiene  $F_x$  negativa. Entonces

$$F_{x1} = (- a_R \rho v_p \dot{u}_{1R}) \text{ AREA} \quad (3.79)$$

Por otra parte, analicemos el término  $-\rho v_p \dot{u}_{1R} = \overline{\sigma}_1^*$ . Para  $\dot{u}_{1R}$  positiva se tiene esfuerzo  $\overline{\sigma}_1^*$  negativo, y por tanto  $F_x$  positiva; por tanto:

$$F_{x2} = (-\rho v_p \dot{u}_{1R}) \text{ AREA} \quad (3.80)$$

Se tiene entonces una fuerza total  $F_x$  igual a:

$$F_x = F_{x1} + F_{x2} = (- a_R \rho v_p \dot{u}_{1R} - \rho v_p \dot{u}_{1R}) \text{ AREA} \quad (3.81)$$

que también puede expresarse como:

$$F_x = - \left[ N \left[ (\lambda + 2G) U(Nz) + \lambda W'(Nz) \right] \exp i\omega t + \rho v_p \dot{u}_{1R} \right] \text{ AREA} \quad (3.82)$$

Por otra parte:

$$\frac{\partial \dot{u}_{1R}}{\partial t} = -\omega U(Nz) \exp i(\omega t - Nx)$$

$$\left. \frac{\partial \dot{u}_{1R}}{\partial t} \right|_{x=0} = -\omega U(Nz) \exp i\omega t$$

La expresión (3.82) toma la siguiente forma:

$$F_x = \left[ -N(\lambda + 2G)U(Nz) - N\lambda W'(Nz) + \rho v_p \omega U(Nz) \right] \exp i\omega t \quad \text{AREA} \quad (3.83)$$

Debido a que el movimiento se hizo independiente del tiempo, tal como se ve en la ecuación (3.8), entonces la fuerza de excitación está dada por la siguiente expresión:

$$F_x = -\left[ N(\lambda + 2G)U(Nz) + N\lambda W'(Nz) - \rho v_p \omega U(Nz) \right] \text{AREA} \quad (3.84)$$

6

$$F_x = \left[ a_R \rho v_p + \rho v_p \right] \omega U(Nz) \quad \text{AREA} \quad (3.85)$$

El término  $\rho v_p \dot{u}$  de la ecuación (3.76) se omitió en estas dos últimas ecuaciones, debido a que éste formará parte del término donde aparece la matriz de amortiguamiento en la ecuación (3.8).

Mediante un razonamiento análogo puede llegar a valuarse la fuerza  $F_z$ .

De la expresión (3.77)  $\tau_1$  puede expresarse como:

$$\tau_1 = b_R \rho v_s \dot{w}_{1R} \quad (3.87)$$

Puede apreciarse que para  $b_R \dot{w}_{1R}$  positiva se tiene es - fuerza positivo ( ver fig 3.12 ), y por tanto  $F_z$  negativa. Entonces:

$$F_{z1} = - b_R Q v_B \dot{w}_{1R} \text{ AREA} \quad (3.88)$$

Para el término  $- Q v_B \dot{w}_{1R}$  se tiene que para  $\dot{w}_{1R}$  positiva el esfuerzo es negativo, y por lo tanto la fuerza es positiva.

$$F_{z2} = - Q v_B \dot{w}_{1R} \text{ AREA} \quad (3.89)$$

Por otro lado:

$$\frac{\partial w_{1R}}{\partial t} = i \omega W(Nz)$$

Entonces

$$F_z = F_{z1} + F_{z2} = i [-b_R Q v_B - Q v_B] W(Nz) \text{ AREA} \omega \quad (3.90)$$

o

$$F_z = [-i G N U(Nz) + W(Nz) - i \omega W(Nz) Q v_B] \text{ AREA} \quad (3.91)$$

Así, la condición de frontera en este caso equivale a aplicar las fuerzas  $F_x$  y  $F_z$  en cada uno de los puntos nodales, y colocar dos amortiguadores perpendiculares entre sí: uno en la dirección del eje  $X$  cuya constante de disipación es  $Q v_p$ , y otro en la dirección  $Z$  con constante  $Q v_B$ .

#### Frontera B

En este caso los esfuerzos  $\bar{G}_1$  y  $\bar{T}_1$  corresponden a ondas -

incidentes de Rayleigh, pero ahora sus valores son para  $Z = Z_0$  y  $-X$  variable.

Para el esfuerzo normal a la frontera, se tiene:

$$\sigma_1 = (\lambda + 2G) \frac{\partial w}{\partial z} + \frac{\partial u}{\partial x}$$

$$\sigma_1 = (\lambda + 2G) N W'(Nz_0) \exp i(\omega t - Nx) + \lambda N U(Nz_0) \exp i(\omega t - Nx)$$

$$\sigma_1 = N [(\lambda + 2G) W'(Nz_0) + \lambda U(Nz_0)] \exp i(-Nx + \omega t)$$

Haciéndolo independiente del tiempo:

$$\sigma_1 = N [(\lambda + 2G) W'(Nz_0) + \lambda U(Nz_0)] \exp i(-Nx) \quad (3.92)$$

El esfuerzo cortante se encuentra de la misma forma que el de la frontera A. Aplicando las condiciones para la frontera en cuestión, la ecuación (3.75) queda:

$$\tau_1 = iGN [U'(Nz_0) - W(Nz_0)] \exp i(-Nx) \quad (3.93)$$

Para las ondas de salida se tomaron  $a = 1$ ,  $b = 1$ .

En este caso, las expresiones (3.59) y (3.70) tienen signos correctos pues el sentido del eje corresponde a la dirección de propagación de las ondas de salida. (ver fig 3.6)

$$\sigma = \sigma_1 + \rho v_p \dot{w}_{1R} - \rho v_p \dot{w}$$

$$\tau = \tau_1 + \rho v_B \dot{u}_{1R} - \rho v_B \dot{u}$$

Sustituyendo los valores de las velocidades:

$$\begin{aligned} \sigma = N [(\lambda + 2G) W'(Nz_0) + \lambda U(Nz_0)] \exp i(-Nx) \\ + i \rho v_p \omega W(Nz_0) \exp i(-Nx) \end{aligned} \quad (3.94)$$

$$\tau = iGN [U'(Nz_0) - W(Nz_0)] \exp i(-Nx) - \omega Q v_B U(Nz_0) \exp i(-Nx) \quad (3.95)$$

El esfuerzo  $\bar{G}_1$  es igual a:

$$\bar{G}_1 = a_R Q v_P \dot{w}_{1R} \text{AREA}$$

Para  $a_R \dot{w}_{1R}$  positiva se tiene  $\bar{G}_1$  positivo y por tanto  $F_z$  es positivo. Entonces

$$F_{z1} = a_R Q v_P \dot{w}_{1R} \text{AREA}$$

El término  $Q v_P \dot{w}_{1R} = \bar{G}_1^*$  también nos da fuerza positiva:

$$F_z = (a_R Q v_P \dot{w}_{1R} + Q v_P \dot{w}_{1R}) \text{AREA} \quad (3.96)$$

Pero:

$$w_{1R} = i\omega W(Nz_0) \exp(-Nx)i$$

$$F_z = i(1 + a_R) Q v_P \omega W(Nz_0) \exp(-Nx)i \text{AREA} \quad (3.97)$$

Expresado en términos de la ecuación (3.81), queda:

$$F_z = \left[ N[(\lambda + 2G)W'(Nz_0) + \lambda U(Nz_0)] \exp i(-Nx) + i Q v_P \omega W(Nz_0) \exp i(-Nx) \right] \text{AREA} \quad (3.98)$$

Aboquemos nuestra atención a  $F_x$ . El esfuerzo  $\tau_1$  puede expresarse de la siguiente forma:

$$\tau_1 = b_R Q v_B \dot{u}_{1R}$$

Para  $b_R \dot{u}_{iR}$  positiva se tiene  $\tau_1$  positivo y por tanto  $F_x$  es positiva. Entonces.

$$F_{x1} = b_R Q v_B \dot{u}_{iR} \text{ AREA} \quad (3.99)$$

El término  $Q v_B \dot{u}_{iR} = \tau_1^*$  nos da fuerza positiva

$$F_x = (b_R Q v_B u_{iR} + Q v_B u_{iR}) \text{ AREA} \quad (3.100)$$

Pero:

$$\dot{u}_{iR} = -\omega U(Nz_0) \exp(-Nx)$$

Entonces:

$$F_x = -(b_R + 1) Q v_B \omega U(Nz_0) \exp(-Nx) \text{ AREA} \quad (3.101)$$

Esta última expresión también puede escribirse como:

$$F_x = [iGN (U'(Nz_0) - W(Nz_0) \exp i(-Nx) - \omega Q v_B U(Nz_0) \exp i(-Nx))] \text{ AREA} \quad (3.102)$$

Las fuerzas  $F_x$  y  $F_z$  se aplicarán en todos los puntos nodales de la frontera, colocándose en esta última dos amortiguadores: uno en la dirección del eje  $X$  con constante  $Q v_B$ , y otro en la dirección del eje  $Z$  con constante  $Q v_p$ .

### Frontera C

En este caso  $\zeta_1$  y  $\tau_1$  son nulos. La condición de frontera es equivalente a considerar un conjunto de amortiguadores que absorban un sistema de ondas Rayleigh. Las constantes de absorción de tales amortiguadores son: en la dirección del eje  $X$   $b_R Q v_p$  y

en la dirección del eje Z,  $b_R Q v_s$ . Los valores de  $a_R$  y  $b_R$  se valúan de acuerdo con las expresiones (3.72) y (3.73), según la formulación de Lysmer y Kuhlemeyer.

#### 4. CASOS POR ANALIZAR.

Las configuraciones analizadas se presentan en la fig 4.1 Para la forma de tales accidentes topográficos (promontorio y de - presión) se adoptó una función senoidal. Se supuso un material - homogéneo, isótropo, linealmente elástico y con módulo de Poisson - igual a  $1/4$ . Se seleccionaron dimensiones totales grandes en comparación con las de la irregularidad, a fin de minimizar el error que las condiciones de frontera introducen en la solución.

En cada caso analizado, se supuso un tren de ondas de Rayleigh propagándose de izquierda a derecha, bajo condiciones de deformación plana.

Para fijar un límite superior en la frecuencia de excitación, con el fin de evitar que se propaguen altas frecuencias a través del modelo, se procedió a excitar dicho modelo sin irregularidad topográfica con diferentes frecuencias. Teóricamente no debe existir amplificación ni reducción del movimiento en todo punto del modelo. Los resultados obtenidos pueden verse en la figura 4.2 . En estas gráficas se presentan las amplificaciones normalizadas respecto al movimiento que se tendría si no existiera accidente topográfico, que en este caso deben ser unitarias. Se aprecia que el modelo se comporta mal para un rango de longitudes de onda mayores a un cierto valor que debe tomarse como límite, de acuerdo a la aproximación que se desee. Esta longitud de onda mínima de excitación se tomó igual a 350 m, que corresponde aproximadamente a 12 veces la longitud máxima del elemento finito empleado.

#### 4.1 Promontorios.

Se analizan tres promontorios con relaciones  $h/L_1$  (ver fig 4.1) de 0.7, 0.5 y 0.3 respectivamente. Para cada valor de  $h/L_1$  se hizo variar la relación de la longitud de onda  $\lambda$  a ancho de la base  $2L_1$  del accidente topográfico, tomándose los valores de 50, 5 y 2.5. Este último valor fue el mínimo aceptable, con  $\lambda = 350$  m. Las figuras 4.3 a 4.8 muestran las amplificaciones normalizadas respecto al movimiento que se tendría si no existiera promontorio, y corresponden a los puntos localizados a lo largo de la superficie del modelo considerado. Los resultados obtenidos para la relación  $\lambda/2L_1 = 50$  se omiten, en virtud de que el movimiento del terreno prácticamente no se afecta por la irregularidad topográfica. La gráfica correspondiente a este último caso, corresponde a una recta horizontal, con ordenada al origen unitaria.

#### 4.2 Depresiones.

El análisis fue prácticamente el mismo que para el caso anterior. Las relaciones  $Z/L_1$  (ver fig 4.1) fueron 0.7, 0.5 y 0.3. Se tomaron valores de  $\lambda/2L_1$  iguales a 10, 5 y 2.5. Las figuras 4.9 a 4.16 presentan los resultados obtenidos.

## 5. RESULTADOS.

De los análisis hechos se puede observar lo siguiente:

### A. Promontorios.

a) Las amplificaciones máximas en todos los casos analizados se presentan en la cima, y son sensibles a la relación entre longitud de onda y ancho de la base del accidente topográfico.

b) De todos los casos analizados para cada promontorio, la máxima amplificación se presentó cuando la longitud de onda era comparable con el doble del ancho de la base del mismo ( $4L_1$ ).

c) En general puede apreciarse una franca reducción del movimiento horizontal en los puntos localizados cerca del pie izquierdo del promontorio.

d) Entre mayor es la relación  $h/L_1$ , el efecto del accidente topográfico cobra mayor importancia, reflejándose en los valores de la amplificación.

e) En general se aprecia una influencia mayor al movimiento de las ondas incidentes del lado en que dichas ondas inciden, (izquierdo en nuestro caso).

### B. Depresiones.

a) En todos los casos analizados ocurre una reducción del movimiento horizontal en el sitio más profundo de la depresión (sima), y es sensible a la relación  $\lambda/L_1$ .

b) Para cada depresión, la reducción máxima tuvo lugar cuando la longitud de onda  $\lambda$  era comparable con el doble del an--

cho de dicha irregularidad ( $4L_1$ ).

c) Para todos los casos se aprecia una amplificación -- máxima del movimiento horizontal en los puntos localizados cerca del borde izquierdo de la depresión ( del lado donde inciden las ondas).

d) Entre mayor es la relación  $Z/L_1$ , el accidente topográfico influye más en el movimiento, reflejándose en los valores de la amplificación.

## 6. CONCLUSIONES Y RECOMENDACIONES.

Del estudio con elementos finitos se deduce que las irregularidades topográficas alteran significativamente las ondas sísmicas y que el fenómeno es sensible, entre otras variables, a la relación entre la longitud de onda  $\lambda$  y las dimensiones de la irregularidad.

Debido a que este trabajo prácticamente no tiene precedentes, los resultados obtenidos no pueden compararse con estudios anteriores, y por ello conviene calibrar la precisión de sus resultados, comparándolos con los de otros modelos que no se vean afectados por las aproximaciones introducidas para representar las condiciones de frontera.

### RECONOCIMIENTOS

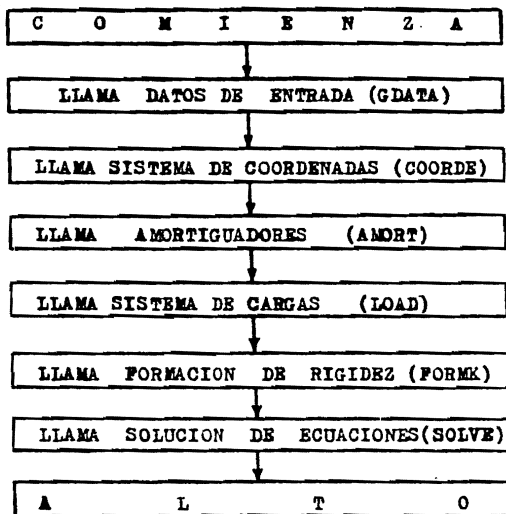
Deseo hacer patente mi reconocimiento al Dr. Luis Esteva M. por la dirección y revisión de este trabajo. Agradezco a Sonia Ruiz por su valiosa ayuda en la realización del mismo; a Rafael Aranda, a Gustavo Ayala y Alejandro Reyes, por sus preciosos comentarios. Asimismo, a Laura M. González A. por la transcripción mecanográfica del manuscrito.

## APENDICE. PROGRAMA DE COMPUTADORA. DIAGRAMA DE FLUJO.

El programa y las técnicas de programación que aquí se presentan se basan en el programa FESS ( Finite Element Solution Swansea) (ref 3), pero a un nivel elemental. Es un programa que efectúa un análisis lineal de deformación plana, escrito en Fortran IV.

La estructuración de este programa es a base de subrutinas, controladas por un programa maestro, cuya función es -- llamarlas en el orden apropiado. Se presenta el diagrama de -- bloques, una breve explicación de las subrutinas y el listado del programa.

### DIAGRAMA DE BLOQUES



## SUBROUTINAS

## A.1 Datos de Entrada.

A.1.1 Subrutina GDATA. Esta subrutina tiene por objeto leer la mayor parte de los datos necesarios para el funcionamiento. - del programa. Ellos son:

OMEGA : Frecuencia de excitación  
 NP : Número de puntos nodales  
 NE : Número de elementos  
 NB : Número de nodos restringidos  
 NLD : Número de casos para diferentes cargas  
 NDP : Número de grados de libertad por nodo  
 NMAT : Número de diferentes tipos de material  
 NEST : Número de estratos  
 NNA : Número de nodos en la frontera A (ver fig 3.6)  
 NAB : Número de nodos en la frontera B  
 NBAND : Ancho de banda de la matriz de rigidez  
 ORT(N,1) : Módulo de Young del material N  
 ORT(N,2) : Módulo de Poisson del material N  
 RO(N) : Densidad volumétrica del material N  
 VP(N) : Velocidad de ondas P en el material N  
 VS(N) : Velocidad de ondas S en el material N  
 ALT : Dimensión vertical del modelo  
 ESP(N) : Longitud del lado vertical del elemento  
 H(N) : Longitud del lado horizontal del elemento  
 NBC : Número de nodos restringidos  
 NPIX : Tipo de condición de frontera. Se da como combinaciones de 0 y 1 para cada grado de libertad, donde 0 denota libertad y 1 restricción

A.1.2 Subrutina COORDE. Tiene como función generar las coordenadas de la totalidad de los puntos nodales.

A.1.3 Conexiones del elemento. Se utilizó otro programa de computadora (ref 13) para generar las diferentes mallas estudiadas. El proceso de generación de dichas mallas es el siguiente:

- a) Se colocan estratégicamente una serie de puntos dentro del área de estudio. Dichos puntos se numeran adecuadamente, con el fin de tener un ancho de banda mínimo, y lograr que el tiempo y costo de cómputo sean también mínimos.
- b) Se generan las coordenadas de los puntos escogidos, utilizando la subrutina COORDE.
- c) Con la información anterior se alimenta al programa, el cual generará la malla óptima para la distribución de puntos dada. La información que nos proporciona consiste en la distribución de todos los elementos, así como sus conexiones. Estas últimas se representan por:
 
$$\text{NOP}(N, I),$$
 en donde N es el número del elemento, e I la identificación de la conexión (1, 2 ó 3).

A.1.4 Subrutina LOAD. Su función es formular el vector de cargas, con base en las ecuaciones obtenidas. Las operaciones básicas que realiza son:

- a) Hace un arreglo de cargas nulas, RI(J).
- b) Calcula las fuerzas externas para cada uno de los puntos nodales localizados en las fronteras A y B. Estas fuerzas son R(1) y R(2) correspondientes a las direcciones de los ejes X y Z respectivamente; y finalmente
- c) Ensambla las fuerzas en el arreglo general de cargas.

A.1.5 Subrutina AMORT. En esta subrutina se generan las constantes de los amortiguadores colocados en las fronteras del modelo. El proceso consiste en:

- a) Hacer un arreglo vectorial nulo T(JJ).
- b) Calcular las constantes de amortiguamiento del nodo; y
- c) Ensamblar dichas constantes en el arreglo vectorial.

## A.2 Generación de la Matriz de Rigidez.

A.2.1 Subrutina STIFT2. Calcula la matriz de rigidez del elemento. Las operaciones básicas que realiza son:

- a) Referir el elemento a un sistema local de coordenadas.
- b) Construir la matriz deformación-desplazamiento B.
- c) Construir la matriz esfuerzo-deformación D.
- d) Realizar la multiplicación matricial  $B^T D B$ .
- e) Integrar sobre el área los términos del producto matricial; y
- f) Referir los resultados al sistema general de coordenadas.

Los nombres de las variables correspondientes a las matrices anteriores, en el programa son:

$$\begin{aligned} B &= A \\ D &= ESTIFM \\ B^T D B &= ESTIF \end{aligned}$$

A.2.2 Subrutina FORMK. Las funciones básicas de esta subrutina son ensamblar las matrices de rigidez y de masas de todo el modelo, y efectuar operaciones entre esta dos matrices y la de amortiguamiento, para plantear los sistemas de ecuaciones a resolver. Estas matrices se trabajan en forma de banda. El proceso de operación es el siguiente:

- a) Inicializa con el arreglo matricial nulo SK.
- b) Llama a la matriz de rigidez del elemento, y la ensambla en el arreglo SK.
- c) Ensambla la matriz de masas S.
- d) Forma la matriz  $SK - w^2 S + iwT = SKI$  ( ver ec. 3.8)
- e) Establece condiciones de frontera.

### A.3. Solución del Sistema de Ecuaciones.

A.3.1 Subrutina SOLVE. Sus funciones son resolver el sistema de ecuaciones (para obtener desplazamientos) y relacionar los desplazamientos obtenidos con los de la solución de campo libre, para calcular las amplitudes normalizadas. El método de solución empleado es el de Gauss-Jordan.

## LISTADO DEL PROGRAMA.

```

FILE  PROGRAMA PRINCIPAL
FILE  1=PRIGT,UNIT=DISK,SAVE=30,RECORD=840,BLOCKING=1
      1,AREA=1*28
FILE  10=VALLA,UNIT=DISK,SAVE=30,RECORD=800

COMMON/CONTR/TITU(12),HP,      NB,NDF,ACN,MLD,NMAT,NSZF,LI,NT4
1  NNA,NAB,NBAND,NEST,CPEGA
COMMON/CERO/TI(900),RI(900)
COMMON/URD/SK(900,35)
COMMON/DDS/OR(14,2)
COMMON/TRES/S(900),T(900),VP(2),VS(2),ZETA(2)
1  HRC(25),HPI(25),RO(6),ALY(6),R(6),ESP(6)
COMMON/CHAT/MAT1(900),IMAT1(900)
COMMON/CHAT/MAT2(900),IMAT2(900)
COMMON/COHN/NO(169,4)
COMMON/COORD/CORD(475,2)

C
  COMPLEX SKI,TI,RI,AK
  NCN=0
  REAC(5,1)NPROB

C
  DO 400 HPR=1,NPROB

C
  NNE=714
  NE=NNE
  DO 800 IJ=1,4
800  READ(10=IJ)(NOP(J,IJ),J=1,NNE)
  2  READ(10=5)(IMAT(J),J=1,NNE)
  2  FORMAT(12I5)
      LEE GEOMETRIA Y PROPIEDADES

C
  CALL GDATA (NE)
  CALL COCRDE

C
  NSZF=NP*NDF
  DO 200 LI=1,MLD
  400  LEE CARGAS
      FORMA Y RESUELVE ECUACIONES SIMULTANEAS

C
  CALL AMORT
  CALL LOAD
  CALL FORMK (NE)
  CALL SOLVE
200  CONTINUE
400  CONTINUE
  1  FORMAT (7I5)

C
  LOCK 9

  LOCK 10
  LOCK 12

  CALL EXIT
  END

```

```

SUBROUTINE CRATA (NF)
  ESTA LEE LAS PROPIEDADES BASICAS GEOMETRICAS
COMMON/CONTR/TITU(12),NP, NB,NDF,ACN,NLD,NMAT,NSZF,LI,NT4
1  NNNA,NAB,NBAND,NEST,OMEGA
COMMON/PROP/RT(8,2)
COMMON/RES/RS(980),AT(900),VP(2),VS(2),ZETA(2)
1  NDF(25),NFIX(25),RO(6),ALT(6),H(6),ESP(6)
COMPLEX SCA
REAL KA,KZ,KX,KU,LAMBDA,NES,L
WRITE(5,7)TITU
WRITE(6,100)TITU

READ(5,10) OMEGA
READ(5,1)NP,NE,NB,NLD,NDF,NMAT,I,NEST,NNA,NAB,NBAND
WRITE(6,1)NP,NE,NB,NLD,NDF,NMAT,I,NEST,NNA,NAB,NBAND

  LEE Y ESCRIBE DATOS DE MATERIALES

READ(5,8)(N,(ORT(N,I),I=1,2),N=1,NMAT)
WRITE(6,108)
WRITE(6,8)(N,(ORT(N,I),I=1,2),N=1,NMAT)

9  READ(5,9)(N,RO(N),VP(N),VS(N),ALT(N),ESP(N),H(N),N=1,NMAT)
19 FORMAT(10,5F10.3)
19  FORMAT(10,5F10.3)

  ESCRIBE DATOS DE ENTRADA

WRITE(6,95)
WRITE(6,10) OMEGA
WRITE(6,108)
WRITE(6,8)(NBC(I),NFI(I),I=1,NB)
1  FORMAT(11,5)
4  FORMAT(2,15)
7  FORMAT(1,2A6)
10  FORMAT(1,10,2F10.2)
14  FORMAT(1,10,PREC DE EXCITACION=)
1008  FORMAT(1,12A6)
1008  FORMAT(7,7,CONDICIONES DE FRONTERA)
1008  FORMAT(7,7,PROPIEDADES DE LOS MATERIALES=,/)
RETURN
END

```

```

SUBROUTINE LOAD
  ESTA FORMULA EL VECTOR DE CARGAS
COMMON/CONTR/TITU(12),NP, NB,NDF,ACN,NLD,NMAT,NSZF,LI,NT4
1  NNNA,NAB,NBAND,NEST,OMEGA
COMMON/PROP/RT(8,2)
COMMON/RES/RS(980),AT(900),VP(2),VS(2),ZETA(2)
1  NDF(25),NFIX(25),RO(6),ALT(6),H(6),ESP(6)
COMPLEX SCA
REAL KA,KZ,KX,KU,LAMBDA,NES,L
WRITE(5,7)TITU
WRITE(6,100)TITU

READ(5,1)NPC
ARREGLO DE CARGAS NULAS

DO 160 J=1,NSZF
160  R1(1)=CMPLX(0,0)
  WRITE(6,109)
  NU=1,08766
  ESE=0,577
  ESE2=ESE*ESE
  VR=VS(2),VU
  NES=NU*ESE
  ZETA=ZETA(2)
  LAMBDA=2*VU(2)*RO(2)/(1.-2.*ORT(2,2))
  CTE=LAMBDA*2.-ZG
  KA=OMEGA*VR
  CO=RO(2)*VP(2)*OMEGA*ESP(2)
  CO1=RO(2)*VS(2)*OMEGA*ESP(2)
  READ(5,2)(V(J),J=1,NPC)
2  DO 200 I=1,NPC

```

```

IF (Z.EQ.0) GO TO 90
KZ=KA*Z-CORD(10(1),2)
AAAA=-.8475*KZ
BBBB=-.3733*KZ
C=C-EXP(AAAA)*.5773*EXP(BBB)
D=-.8475*EXP(AAAA)+1.4679*EXP(BBB)
E=-.8475*EXP(AAAA)-2.2975*EXP(BBB)
GP=-.7162*EXP(AAAA)-5.7734*EXP(BBB)
B=NU*(1+(-1.)*F/G)
A=NES*(1+(-1.)*E/SEZ)*(-1.)*(G/F)
PXA=CO*F
PYA=CO*A
PXA=PX+PXA
PYA=PY+PYA
FYIA=PVA*PY
IF (Z.EQ.0) OR (Z.EQ.ALT(2)) EXRA=EXRA*.5
R(1)=CMPLX(PXA, EQ, ALT(2)) FYIA=FYIA*.5
R(2)=CMPLX(PYA, F, ALT(2))
IF (Z.EQ.0) GO TO 100
X=CORD(10(1),1)
KX=KA*X
SKX=STH(KX)
CKX=COS(KX)
CO2=CO1*F
CO3=CO*G
TXR=PV*SKX
TXAR=-CO2*CKX
FXRB=TXR+TXAR
TXI=PY*CKX
TXAI=CO2*SKX
FXTB=TXI+TXAI
CONST=(C*E*GM+LAMBDA*F)*KA*ESP(2)
TYR=CO3*SKX
TYRB=TYR+TXAR
TYI=CONST*SKX
TYAT=CO3*CKX
TYVB=TYI+TYAT
IF (NO(1), EQ, 1) GO TO 95
R(1)=CMPLX(FYRB, FYIB)
R(2)=CMPLX(TYRB, TYIB)
IF (NO(1), EQ, NO(NPC)) R(1)=R(1)*.5
IF (NO(1), EQ, NO(NPC)) R(2)=R(2)*.5
GO TO 100
95
FXRB=FXRB*.5
FYIB=FYIB*.5
TYRB=TYRB*.5
TYIB=TYIB*.5
R(1)=R(1)+CMPLX(FYRB, FYIB)
R(2)=R(2)+CMPLX(TYRB, TYIB)
100
DO 10 K=1, 2+K
R1(C)=R(K)*R1(C)
170
CONTINUE
200
FORMAT (I5)
FORMAT (110, 4F15.4)
109
FORMAT (, =CARGAS4, )
RETURN
END

```

SUBROUTINE STIFT2(4,ECTIF,SS)

CALCULA LA MATRIZ DE RIGIDEZES DEL ELEMENTO

```

N NUM. ELEMENTOS
I, J, K CONECCIONES DE ELEMENTOS
AJ, DJ, AK, BK COORDENADAS LOCALES DEL TRIANGULO
A(3, 6) MATRIZ DE DEF. DESEPLAZAMIENTOS
ESTIF(12, 12) MATRIZ DE ESFUERZO-DEFORMACION
B(3, 9) MATRIZ DE SUSTITUCION FACTA ATRAS
COMMON/CONTR/TITU(12), RP, SUSTITUCION FACTA ATRAS
1. IINA, NAB, NBAND, NES, C, EGA NB, NSF, NCF, NLD, NMA, NSZF, LI, NT4
COMMON/DOS/ORT(4, 2)
COMMON/TRES/S(20), T(400), VP(2), VS(2), ZETA(2)
1. IIRC(25), IFIX(25), PC(6), ALT(6), A(6), ESR(6)
COMMON/COOR/NOPI(76, 4)
COMMON/COORD/CORD(475, 2)
COMMON/CLMAT/LMAT(1, 400), IMAT( 200)
EYESION ESTIF(12, 12), A(3, 6), B(3, 9), SS(6)
COMPLEX SKI, TI, -1, AF

```

CCCCCCCC



SUBROUTINE FORMK (NE)

FORMA MATRIZ DE RIGIDEZES EN FORMA TRIANGULAR SUP.

```

COMMON/CONTR/ITU(12), NP, NB, NDF, NCR, NLD, AMAT, NSZF, LI, NT4
1  NNNA, NAB, NBRAND, NEST, OMEGA
COMMON/CERO/TI(900), RI(900)
COMMON/UNO/SKI(900,3E)
COMMON/DOS/ORT(4,2)
COMMON/TRES/SI(900), T(900), VP(2), VS(2), ZETA(2)
1  NRC(25), NFAI(35), RC(6), ALI(6), H(6), ESP(6)
COMMON/CLMAT/LMAT(1,900), INAT(900)
COMMON/CONV/NOP(769,4)
DIMENSION SK(700,12), SS(6)
COMPLEX SKI, TI, RI, AK

```

ANCHO DE BANDA Y NUM. DE ECUACIONES

MATRIZ DE RIGIDEZES CERO

```

DO 300 M=1, NSZF
  S(N)=0.
DO 300 M=1, NBAND
300 SK(N,M)=0.

```

EXPLORA LA MATRIZ DE RIGIDEZES

```

DO 400 M=1, NE
CALL STAFI2(N, ESTIF, SS)
REGRESA ESTIF CONC MATRIZ DE RIGIDEZES

```

GUARDA ESTIF EN SK

PRIMERAS FILAS

```

DO 350 J=1, NCR
  NROWB=(NCR(N,J)-1)*NDF
  IF(NROWB)350,305,305
350 DO 350 J=1, NDF
  NROWB=NROWB+1
  IS(JJ=1)*NDF+J
  S(NROWB)=S(NROWB)+SS(I)

```

DESPUES COLUMNAS

```

DO 330 KK=1, NCR
  NCOLB=(NOP(N, KK)-1)*NDF
DO 320 K=1, NDF
  L=(KK-1)*NDF+K
  NCOL=NCOLB+K+1-NROWB

```

```

310 IF(NCOL)320,320,310
  SK(NROWB, NCOL)=SK(NRCR, NCOL)+ESTIF(I, L)
320 CONTINUE
330 CONTINUE
340 CONTINUE
350 CONTINUE
400 CONTINUE

```

```

DO 401 I=1, NBRAND
401 WRITE(1) (SK(J, I), J=1, NSZF)
  WRITE(1) (S(L), L=1, NSZF)
  LOCK I
  WRITE(1) (24)
24  FORMAT(6, MATRIZ M ")
  WRITE(1) (25) (S(I), I=1, 2*NP)
25  FORMAT(6F15.4)

```

```

C  FORMACION DE W2M (REAL)
DO 460 I=1, NSZF
460 SK(I, I)=SK(I, I)-S(I)*OMEGA*OMEGA
DO 470 J=1, NBAND
470 S(I, J)=AMPLA(SK(I, J), O.)
C  FORMACION DE K=2M+1VC
DO 461 I=1, NSZF
461 SKI(I, I)=SKI(I, I)+TI(I)
C  ANE CONDICIONES DE FRONTERA
DO 500 M=1, NDF
  X=10*(NDF-I)

```

```

C      ARROWB(1)=1,NDF
      EXAMINA CADA GRADO DE LIBERTAD
      DO 400 M=1,NDF
      NROWB=NROWB+1
      ICON=FIX(N)/NX
      IF (ICON) 350,450,420
420   SKI(NROWB,1)=C*PLX(1.,0.)
      DO 430 J=2,NAB*ND
      SKI(NROWB,J)=C*PLX(0.,0.)
      NB=NROWB+1-J
      IF (NR,430,430,425)
425   SKI(NR,J)=C*PLX(0.,0.)
430   CONTINUE
      NFIX(N)=NFIX(N)-4X*ICON
450   NX=NX/10
490   CONTINUE
500   CONTINUE
C
      RETURN
      END

```

CC

```

SUBROUTINE AMORT
COMMON/CONTR/TTIU(12),NP, NB,NDF,ICM,MLD,NMAT,NSZF,LI,NT4
1,UNA,NAB,NAND,NEST,CMEGA
COMMON/CERO/TTI(900),R1(900)
COMMON/DOS/ORT(4,2)
COMMON/TRES/VS(900),VP(2),VS(2),ZETA(2)
1,NBC(2),R1(900),R0(6),ALTY(900),E(6),ESP(6)
COMMON/CMAT/NMAT(1,900),NMAT2(900)
COMMON/COORD/CORD(475,2)
DIMENSION NOA(OR(65), G(2),L(2)
REAL L
COMPLEX SKI,TTI,R1,AK
DO 5 JJ=1,2*NP
5   T(JJ)=0
      READ(5,2)(NOAMOR(I),I=1,NNA)
      READ(5,2)(NOAMOR(NNA+I),I=1,NAB)
      F=OMEGA*1.08766/VS(1)
94  FORMAT(F10.5)
      G(1)=VS(1)*VS(1)*R0(1)
      G(2)=VS(2)*VS(2)*R0(2)
      FCLG=G(2)/G(1)
      FZ=F*F

```

C

```

L(1)=2.*G(1)*ORT(1,2)/(1.-2.*ORT(1,2))
L(2)=2.*G(2)*ORT(2,2)/(1.-2.*ORT(2,2))
ZK2=OMEGA/VS(1)
ZKP=ZK2*AK
ZKPA=OMEGA/VS(2)
ZKPB=ZKPA*ZKP
CO=900*ORT(1,2)-ZK2
ACH=PI/2*(OMEGA*OMEGA/(VF(1)*VP(1))
ACHB=PI/2*(OMEGA*OMEGA/(VF(2)*VP(2))
FACUBUP=FZ*ACR(2)
FAS1=SQRT(FSUBU)
H1=1/(1)
CHFS1H=COSH(FS1*H)
SHFS1H=SHH(FS1*H)
CHSH=COSH(UH)
SHSH=SHH(UH)
X=PELG*(7K2/F2)-2.*(PFLG-1.)
Y=H+(ZK2/F2)
W=2.*(FELG-1)
ZZZ=X*(ZK2/F2)
REF=F7FS1
CEE=SQRT(FSUBUP)/F
WA=K*CEE
ZKAS=ZK2
ZKAA=ZK2
AA=SQRT(FSURUP/FSURU)
YA=AA*ZKAA/F2+WA*REF
ZAA=ZKAA*REF/F2+X*CEE
PAS=2.*X*SHFS1H/REF+2.*YA*CHFS1H/BEE-(2.-ZK2/F2)*CHSH*WA
F1A=2.*SP*W*SHFS1H/(CEE*F)-2.*ZA*CHFS1H/BEE+(2.-ZK2/F2)*X*CHSH
+(2.-ZK2/F2)*SP/1.5*SP*Y

```





```

300 R1(N)=R1(N)/AK(N,1)
C      JUST.HACIA ATRAS
N=NSZF
350 N=N-1
IF(N)500,500,360
360 CO 400 K=2, NRA:ID
      K=K+1
      REAL(AK(N,K)).E0.0.AND.AIMAG(AK(N,K)).E0.0)GO TO 400
      R1(N)=R1(N)-AK(N,K)*R1(L)
400 CO CONTINUE
      GO TO 350
500 WRITE(6,1508)
      WRITE(6,1509)
      WRITE(6,1507) (R1(I),I=1,NSZF)
      DO 401 I=1,NSZF
      SQT(I)=SQRT((REAL(R1(I))*REAL(R1(I)))+(AIMAG(R1(I))*AIMAG(R1(I)))
      IF(I.LT.19)GO TO 399
      KK(I)=I
      IF(KK(I).LT.0) COCIEN=SQRT(I)/CTE1
      IF(KK(I).GT.0) COCIEN=SQRT(I)/CTE2
399 WRITE(6,1510,N,SQT(I),COCIEN
1507 FORMAT(2X,4E16.8)
1508 FORMAT(7X,"SOLICION VECTOR DESPLAZAMIENTOS")
1509 FORMAT(7X,"DESPL HORIZ REAL",5X,"HORIZ IMAG",7X,"VERT REAL",8X,
      1 VERT IMAG")
1510 FORMAT(2X,15E16.8,F20.5)
      RETURN
      END

```

## REFERENCIAS.

1. RUIZ, S, "Influencia de las Condiciones Locales en las Características de los Sismos", Informe 387 Instituto de Ingeniería, UNAM, México (1977).
2. FACCIOLI, E, Y RESENDIZ, D, "Soil Dynamics Behavior Including Liquefaction", Informe E-15 Instituto de Ingeniería, (1975).
3. ZIENKIEWICZ, OC, "The Finite Element Method in Engineering -- Science", Mc Graw Hill, London (1971).
4. TIMOSHENKO, S, and GOODIER, J, N, "Theory of Elasticity" 2nd ed., Mc Graw Hill (1951)
5. RICHART, HALL, "Vibration of Soils and Foundations", Prentice Hall Inc. , Englewood Cliffs, N S (1970).
6. ZAMORANO, F, "Interacción Suelo-Agua-Cortina en Presas durante Sismo", Tesis doctoral, México, D.F., UNAM, (1977).
7. SMITH, W D, "A Nonreflecting Boundary for Wave Propagation - Problems", Journal of the Computation Physics, Vol 15, No.-4, August 1974.
8. LYSMER, y KUHLEMEYER, "Finite Dynamic Model for Infinita Media", Journal of the Engrg. Mech. Div., EM4 (1969), p.p. -- 859 - 875.
9. WEEKS, VALLIAPAN, IAN K, "A Unified Boundary for Finite Dynamic Models "
10. ARANDA, R, "Formulación Numérica del Problema de Propagación de Ondas", Tesis de maestría, DESFI, (1977).
11. AYALA, G, y ARANDA, R, "Fronteras Activas en Dinámica de Suelos", IV Congreso Nacional de Ingeniería Sísmica, México, - (1975).
12. ESTEVA, I, y RUIZ, S, "Amplificación de Ondas de Rayleigh", - Publicación 16 de la Sociedad Mexicana de Ingeniería Sísmica, Septiembre-diciembre 1976.

13. FREDERICK, C O, WONG, Y C, EDGE, F W, " Two Dimensional Automatic Mesh Generation for Structural Analysis ", International Journal for Numerical Methods in Engineering, Vol 2, p.p. 133 - 144 (1970).

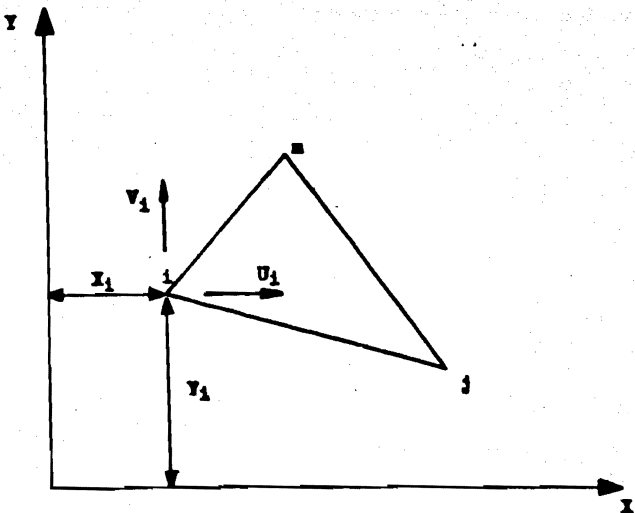


Fig. 2-1. Elemento finito triangular.

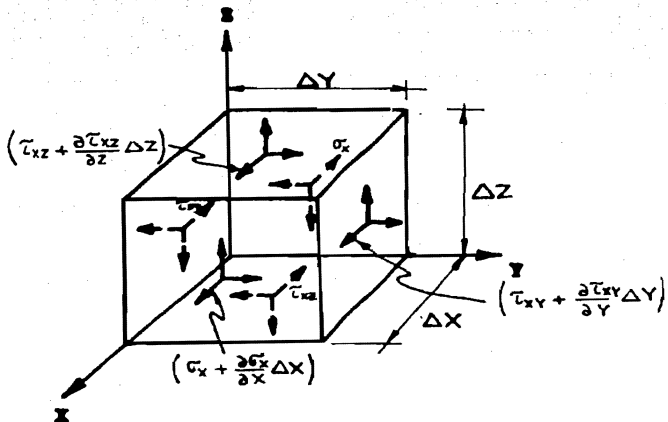


Fig. 3.1. Esfuerzos en un elemento diferencial de un medio elástico infinito.

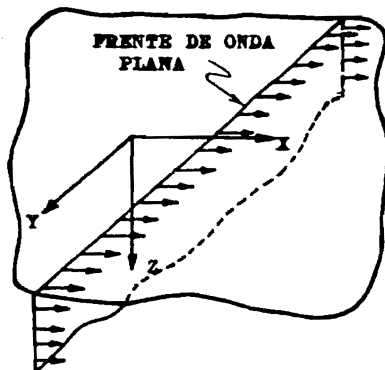


Fig 3.2 . Convención de coordenadas para el semiespacio elástico.

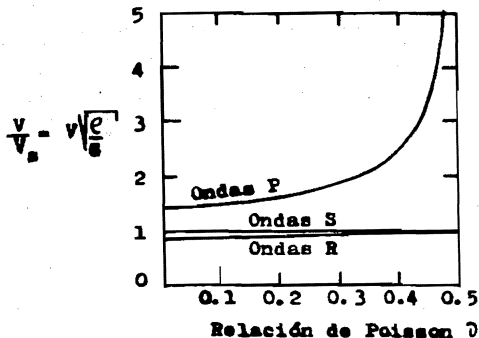


Fig. 3.3 Relación entre  $\nu$  y las velocidades de propagación de ondas P, S y R.

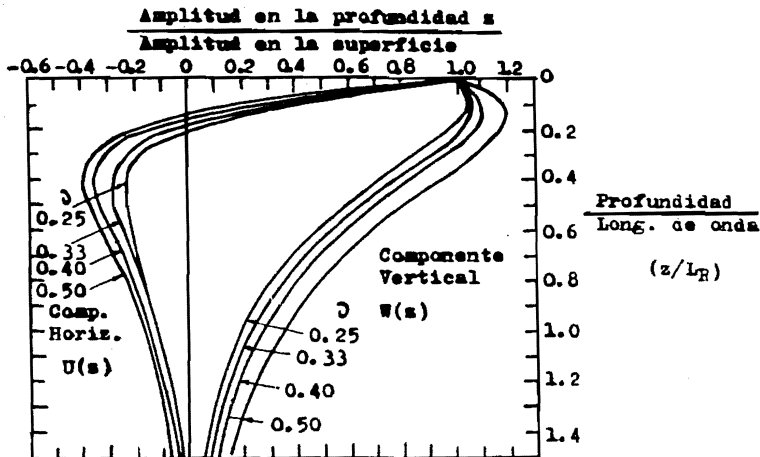


Fig. 3.4 Relación de amplitud contra profundidad adimensional para onda Rayleigh.

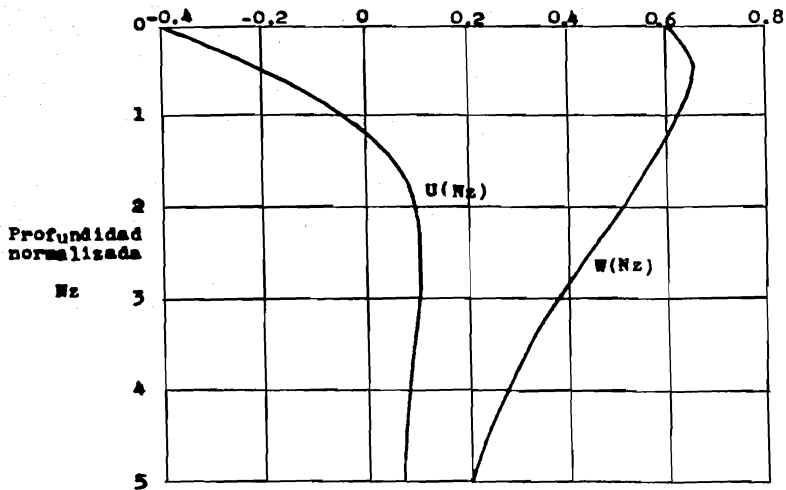


Fig. 3.4a Las funciones  $U(Nz)$  y  $W(Nz)$  para relación de Poisson igual a 0.25

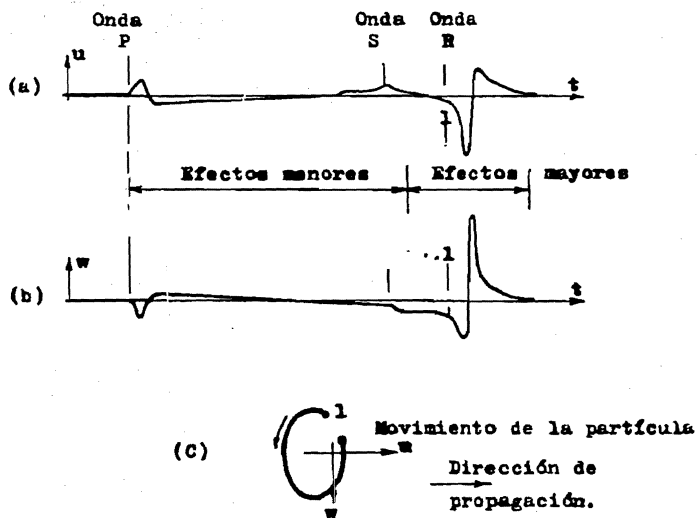


Fig. 3.5 Sistema de ondas en la superficie de un medio ideal, debido a una perturbación.

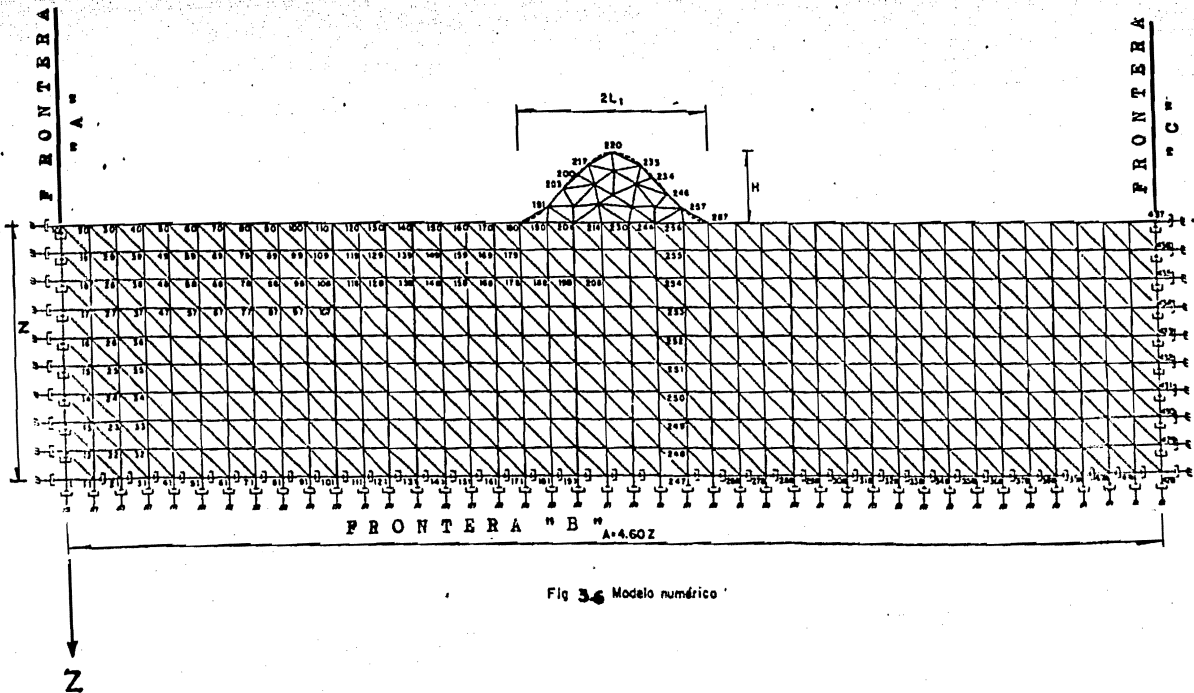


Fig 36 Modelo numérico

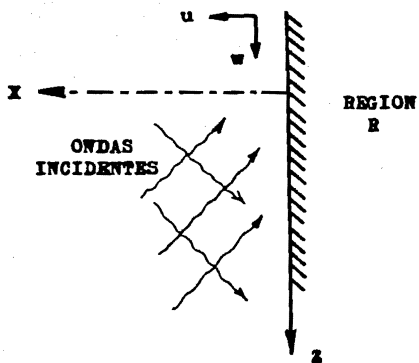


Fig. 3-7 Frontera de la región

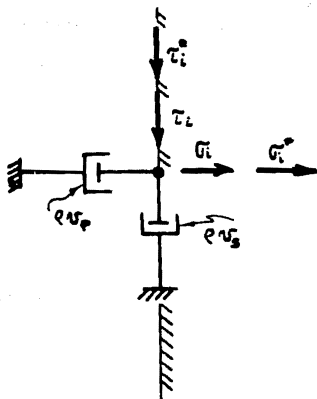


Fig. 3.8 Condiciones de frontera

Energía reflejada  
Energía incidente

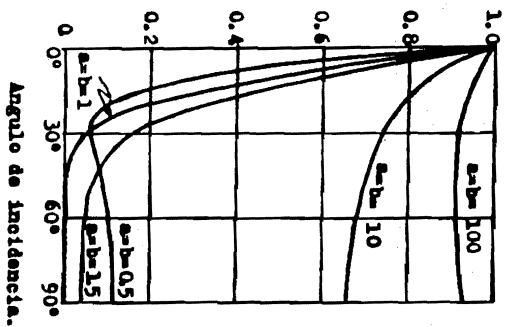


Fig. 3.9 Razón de energía para onda P incidente.

Energía reflejada  
Energía incidente

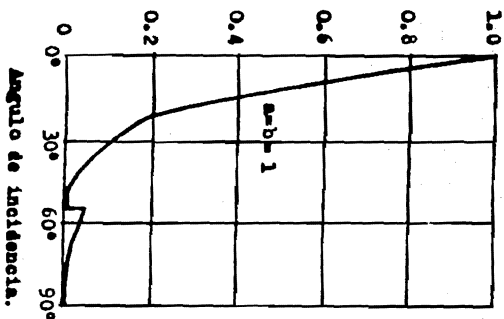


Fig. 3.10 Razón de energía para onda S incidente.

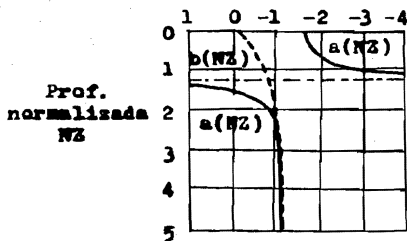


Fig.3.11 Las funciones a y b.

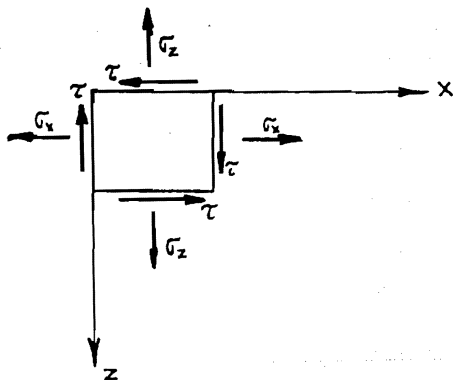


Fig.3.12 Esfuerzos positivos.

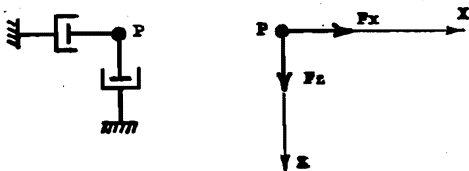


Fig. 3.13 Fuerzas externas sobre la frontera "A".

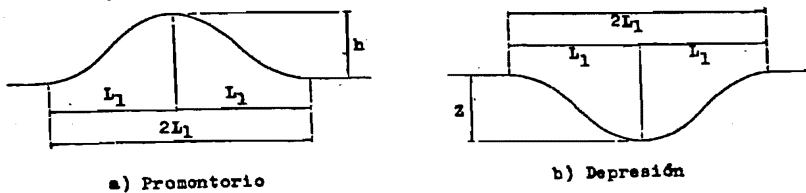
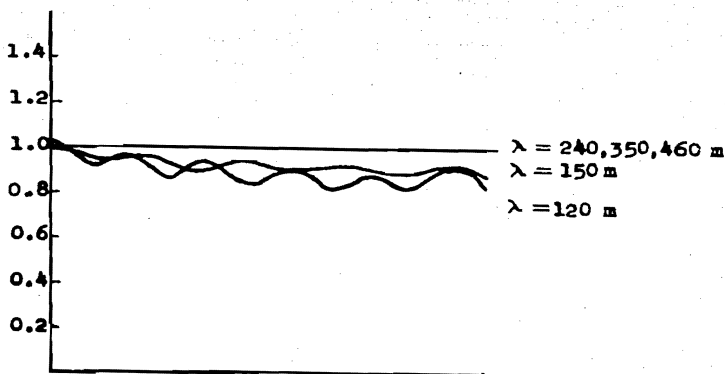
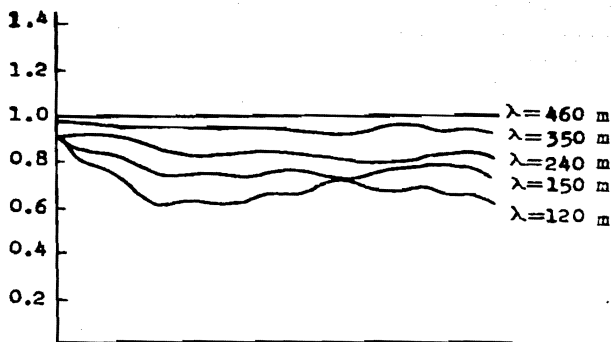


Fig. 4.1 Configuraciones analizadas



MOVIMIENTO VERTICAL



MOVIMIENTO HORIZONTAL

SUPERFICIE DE LA REGION


 EXCITACION

Fig. 4.2 Incidencia de ondas de Rayleigh ante un modelo carente de irregularidad topográfica.

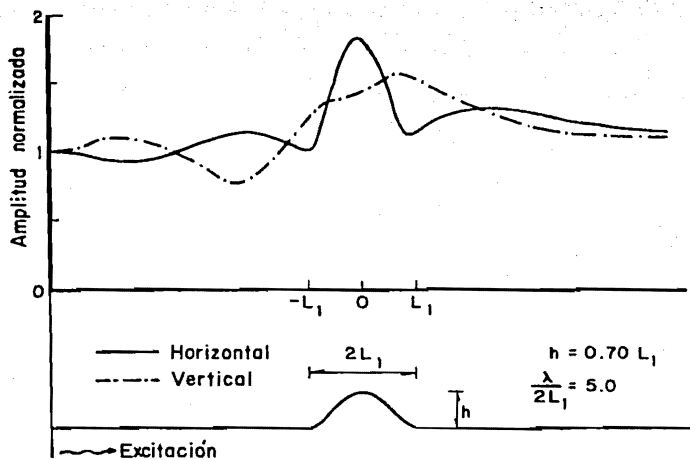


Fig 4.3

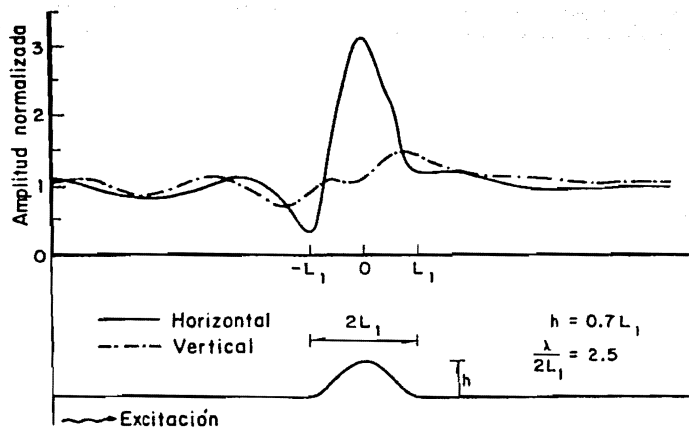


Fig 4.4

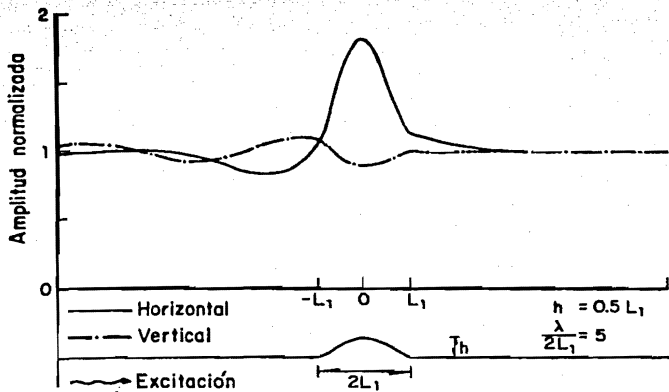


Fig 4.5

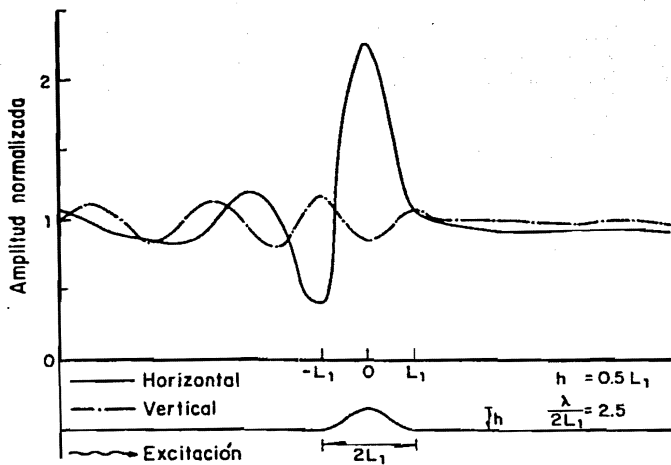


Fig 4.6

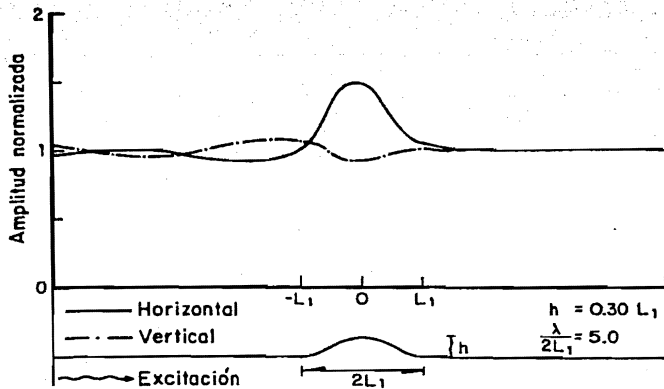


Fig 4.7

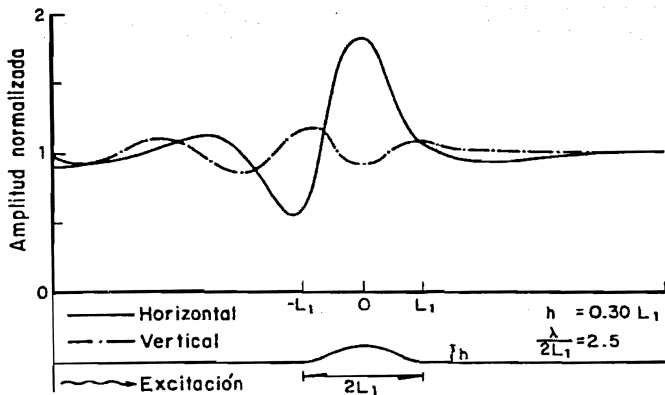


Fig 4.8

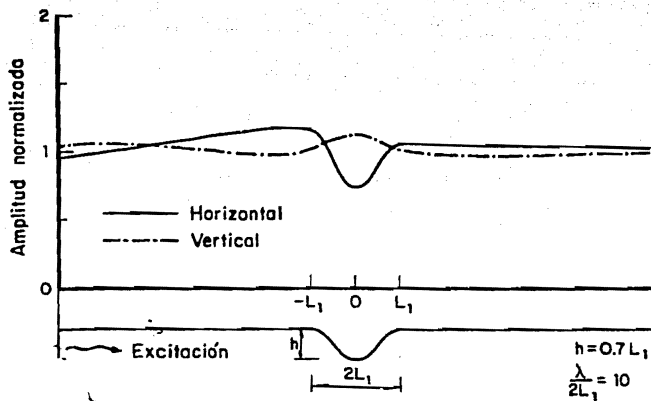


Fig 4.9

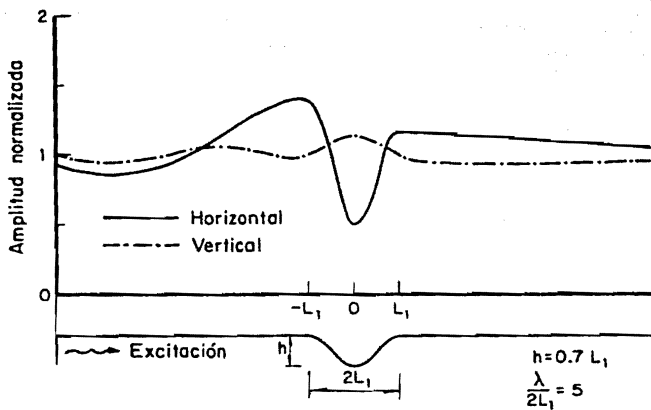


Fig 4.10

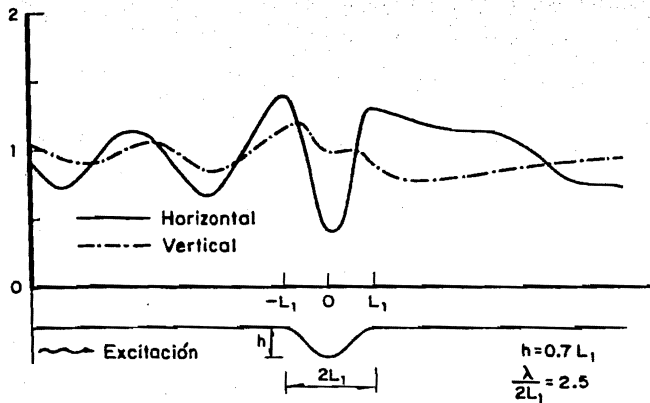


Fig 4.11

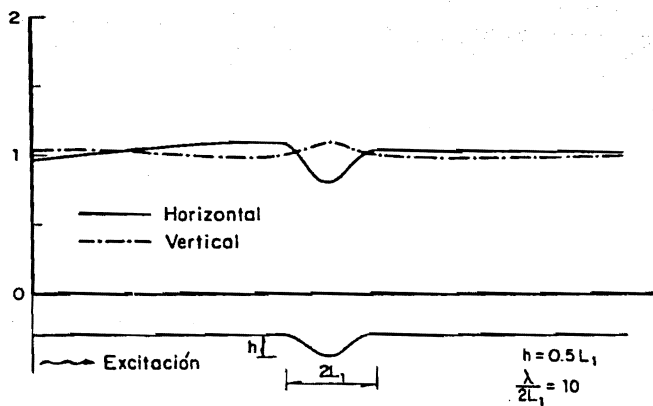


Fig 4.12

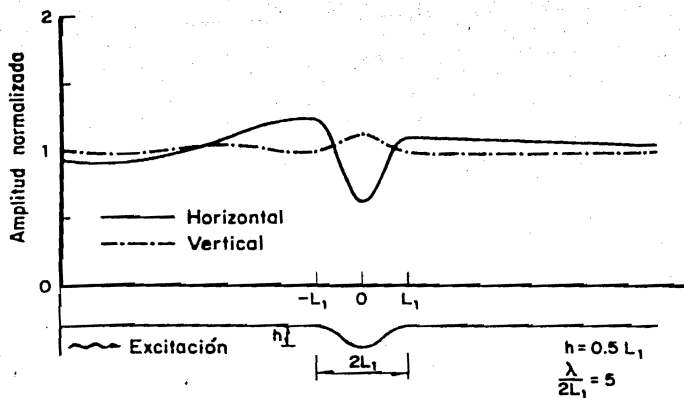


Fig 4.13

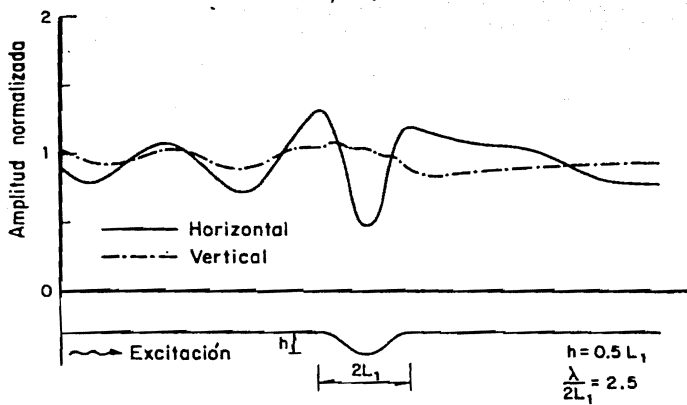


Fig 4.14

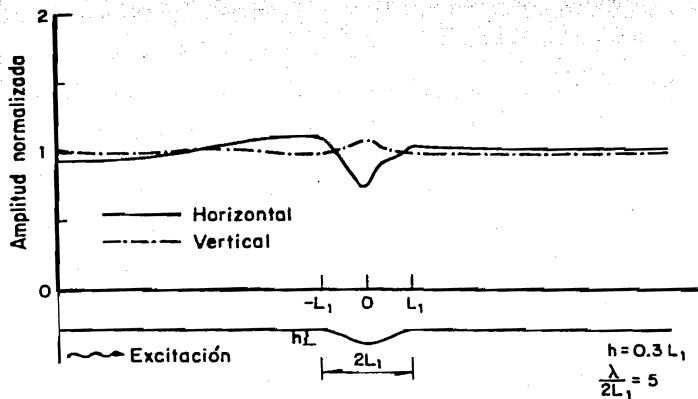


Fig 4.15

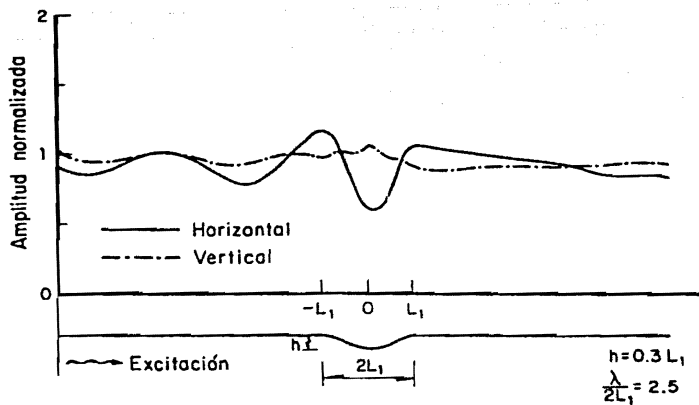


Fig 4.16